



(19) 대한민국특허청(KR)
(12) 등록특허공보(B1)

(45) 공고일자 2019년07월24일
 (11) 등록번호 10-2003374
 (24) 등록일자 2019년07월18일

(51) 국제특허분류(Int. Cl.)
C12N 15/70 (2006.01) *C12N 9/04* (2006.01)
C12N 9/12 (2006.01) *C12N 9/92* (2006.01)
C12P 7/42 (2006.01)
 (52) CPC특허분류
C12N 15/70 (2013.01)
C12N 9/0006 (2013.01)
 (21) 출원번호 10-2017-0061244
 (22) 출원일자 2017년05월17일
 심사청구일자 2017년05월17일
 (65) 공개번호 10-2018-0126322
 (43) 공개일자 2018년11월27일
 (56) 선행기술조사문헌
 KR1020160043498 A*
 US20170121717 A1*
 Zheng-Jun Li 등. *Metabolic Engineering*.
 Vol.35, No.1, 페이지 1-8 (2016.01.14.) 1부.*
 GenBank Accession Number CP013952
 (2017.04.28.) 1부.*
 *는 심사관에 의하여 인용된 문헌

(73) 특허권자
명지대학교 산학협력단
 경기도 용인시 처인구 명지로 116 (남동, 명지대학교)
 (72) 발명자
정옥진
 경기도 성남시 분당구 내정로 186 파크타운대림아파트 102동 1306호
루디스 카부롱
 경기도 용인시 처인구 명지로 116 명지대학교
 (뒷면에 계속)
 (74) 대리인
특허법인다울

전체 청구항 수 : 총 8 항

심사관 : 최준호

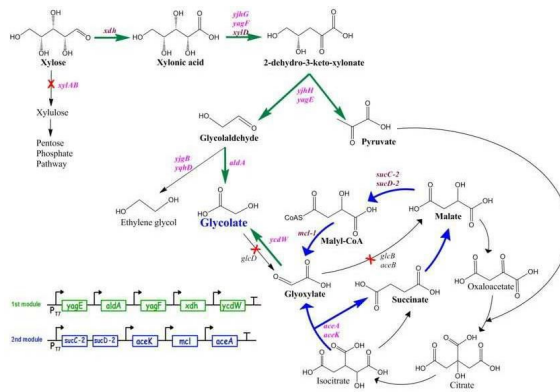
(54) 발명의 명칭 **자일로스로부터 글리콜산의 생산능을 갖는 대장균, 이의 제조방법 및 이를 이용하여 글리콜산을 생산하는 방법**

(57) 요약

본 발명은 자일로스로부터 글리콜산의 생산능을 갖는 대장균, 이의 제조방법 및 이를 이용하여 글리콜산을 생산하는 방법에 관한 것으로, 더욱 상세하게는 자일로스로부터 글리콜산을 대량 생산할 수 있는 형질전환 대장균, 이의 제조방법과 상기 형질전환 대장균을 이용하여 자일로스로부터 글리콜산을 생산하는 방법에 관한 것이다.

본 발명에 따르면 자일로스로부터 글리콜산을 대량 생산할 수 있는 형질전환 대장균을 제공할 수 있다. 또한 본 발명에 따르면, 자일로스로부터 글리콜산을 생산하는 과정에서 발생하는 부산물을 글리콜산 생합성경로로 도입시킬 수 있는 바, 부산물의 생산은 현저히 낮추면서 동시에 높은 수율로 글리콜산을 생산할 수 있다.

대표도



- (52) CPC특허분류
C12N 9/1205 (2013.01)
C12N 9/92 (2013.01)
C12P 7/42 (2013.01)
C12Y 101/01179 (2013.01)
C12Y 101/03015 (2013.01)
C12Y 207/01017 (2013.01)
C12Y 503/01005 (2013.01)

안젤로 바네레스

경기도 용인시 처인구 명지로 116 명지대학교 용인 캠퍼스 명현관 109호

그레이스 니소라

경기도 용인시 처인구 명지로 116 명지대학교 제2 공학관8807호

이원근

경기도 용인시 처인구 명지로 116 명지대학교

(72) 발명자

크리스 발테후에사

경기도 용인시 처인구 명지로 116 명지대학교

크리스틴 라모스

경기도 용인시 처인구 명지로 116 명지대학교

페리 마자

경기도 용인시 처인구 명지로 116 명지대학교 용인 캠퍼스 명현관 108호

이 발명을 지원한 국가연구개발사업

과제고유번호 2009-0093816

부처명 교육부

연구관리전문기관 한국연구재단

연구사업명 대학중점연구소지원사업

연구과제명 에너지환경융합기술연구소(3단계)-바이오매스기반 바이오화학제품 생산공정 요소기술 개발

기여율 1/3

주관기관 명지대학교

연구기간 2015.09.01 ~ 2018.08.31

이 발명을 지원한 국가연구개발사업

과제고유번호 2015H1D3A1062172

부처명 미래창조과학부

연구관리전문기관 한국연구재단

연구사업명 해외우수신진연구자유치사업

연구과제명 페바이오매스 유래 탄수화물의 효율적 활용 기술을 이용한 바이오에너지/화학제품 생산용 생합성 공정기술 개발

기여율 1/3

주관기관 명지대학교

연구기간 2015.11.01 ~ 2020.02.29

이 발명을 지원한 국가연구개발사업

과제고유번호 2016R1C1B1013252

부처명 미래창조과학부

연구관리전문기관 한국연구재단

연구사업명 신진연구자지원사업

연구과제명 재조합 미생물 균주를 이용한 C5 xylose 기반 C2 및 C4 플랫폼 케미컬 생산 기술 개발

기여율 1/3

주관기관 명지대학교

연구기간 2016.06.01 ~ 2019.05.31

공지예외적용 : 있음

명세서

청구범위

청구항 1

대장균에서 자일로스 이소머라제(xylose isomerase) 유전자 *xyIA* 및 자일루로키나아제(xylulokinase) 유전자 *xyIB* 녹아웃 시키는 단계(단계 a);

단계 a의 대장균에서 글리콜산 옥시다아제(glycolate oxidase) 유전자 *glcD*를 녹아웃시키는 단계(단계 b); 및
 자일로스 디하이드로게나아제(xylose dehydrogenase) 유전자 *xdh*를 포함하는 발현백터를 이용하여 단계 b의 대장균을 형질전환시키는 단계(단계 c)를 포함하고,

상기 단계 c의 발현백터는 글리옥실산 환원효소 유전자 *ycdW*, 이소시트르산 리아제 유전자 *aceA* 및 이소시트르산 디하이드로게나아제 키나아제/포스파타제 유전자 *aceK*의 조합, 또는 글리옥실산 환원효소 유전자 *ycdW*, 이소시트르산리아제 유전자 *aceA*, 이소시트르산 디하이드로게나아제 키나아제/포스파타제 유전자 *aceK*, 말산 티오키나아제(malate thiokinase) 유전자 *sucC-2*, 말산 티오키나아제(malate thiokinase) 유전자 *sucD-2* 및 말릴-CoA 리아제(malyl-CoAlyase) 유전자 *mcl-1*의 조합을 포함하는 것을 특징으로 하는 글리콜산 생산능을 갖는 형질전환 대장균의 제조방법.

청구항 2

청구항 1에 있어서,

상기 자일로스 이소머라제 유전자 *xyIA*는 서열번호 1의 염기서열로 구성되는 것을 특징으로 하는, 글리콜산 생산능을 갖는 형질전환 대장균의 제조방법.

청구항 3

청구항 1에 있어서,

상기 자일루로키나아제 유전자 *xyIB*는 서열번호 2의 염기서열로 구성되는 것 특징으로 하는, 글리콜산 생산능을 갖는 형질전환 대장균의 제조방법.

청구항 4

청구항 1에 있어서,

상기 글리콜산 옥시다아제 유전자 *glcD*는 서열번호 3의 염기서열로 구성되는 것을 특징으로 하는, 글리콜산 생산능을 갖는 형질전환 대장균의 제조방법.

청구항 5

청구항 1에 있어서,

상기 자일로스 디하이드로게나아제 유전자 *xdh*는 카우로박터 크리센투스(*Caulobacter crescentus*)로부터 유래된 것으로서 서열번호 4의 염기서열로 구성되는 것을 특징으로 하는, 글리콜산 생산능을 갖는 형질전환 대장균의 제조방법.

청구항 6

삭제

청구항 7

청구항 1에 있어서,

상기 발현벡터에 포함된 유전자인 *ycdW*, *aceA*, *aceK*, *sucC-2*, *sucD-2* 및 *mcl-1*는 각각 서열번호 11, 12, 13, 14, 15 및 16으로 기재되는 염기서열로 구성되는 것을 특징으로 하는, 글리콜산 생산능을 갖는 형질전환 대장균의 제조방법.

청구항 8

삭제

청구항 9

청구항 1에 있어서,

상기 대장균은 *E. coli* W3110(DE3)인 것을 특징으로 하는, 글리콜산 생산능을 갖는 형질전환 대장균의 제조방법.

청구항 10

삭제

청구항 11

삭제

청구항 12

삭제

청구항 13

삭제

청구항 14

자일로스 이소머라제 유전자 *xyIA*, 자일루로키나아제 유전자 *xyIB* 및 글리콜산 옥시다아제 유전자 *gldG*가 녹아웃되고, 자일로스 디하이드로게나아제 유전자 *xdh*를 포함하는 발현벡터로 형질전환된 대장균을, 자일로스를 포함하는 배지에 배양시키는 단계(단계 1); 및

단계 1에서 배양된 배양물로부터 글리콜산을 수득하는 단계(단계 2)를 포함하고,

상기 단계 1에서 발현벡터는 글리옥실산 환원효소 유전자 *ycdW*, 이소시트르산 리아제 유전자 *aceA* 및 이소시트르산 디하이드로게나아제 키나아제/포스파타제 유전자 *aceK*의 조합, 또는 글리옥실산 환원효소 유전자 *ycdW*, 이소시트르산리아제 유전자 *aceA*, 이소시트르산 디하이드로게나아제 키나아제/포스파타제 유전자 *aceK*, 말산 티오키나아제(malate thiokinase) 유전자 *sucC-2*, 말산 티오키나아제(malate thiokinase) 유전자 *sucD-2* 및 말릴-CoA 리아제(malyl-CoAlyase) 유전자 *mcl-1*의 조합을 포함하는 것을 특징으로 하는 글리콜산의 생산방법.

발명의 설명

기술 분야

본 발명은 자일로스로부터 글리콜산의 생산능을 갖는 대장균, 이의 제조방법 및 이를 이용하여 글리콜산을 생산하는 방법에 관한 것으로, 더욱 상세하게는 자일로스로부터 글리콜산을 대량 생산할 수 있는 형질전환 대장균, 이의 제조방법과 상기 형질전환 대장균을 이용하여 자일로스로부터 글리콜산을 생산하는 방법에 관한 것이다.

[0001]

배경기술

[0003] 글리콜산(glycolic acid, GA)은 가장 단순한 알파 하이드록시산(α hydroxy acid)이다. 글리콜산은 일차 알코올과 적당히 강력한 카복실산 작용기로 인해 광범위하게 응용이 가능하다. 일례로, 글리콜산은 박리효과와 보습효과로 인해 화장품과 피부과에서 널리 사용되고 있다. 글리콜산의 중합체 형태인 폴리글리콜산(polyglycolic acid, PGA)은 우수한 가스 차단성으로 인해 좋은 포장재료로 사용되고 있다. 또한 글리콜산은 의학분야에서 약물 전달에 사용되는 폴리락티코글리콜산(poly(lactic-co-glycolic acid))의 공중합체 기질로서 필수적으로 사용된다. 아울러, PET병과 의료 봉합사(medical sutures)에서 글리콜산에 대한 수요가 매우 높다. 이 밖에도 가죽 공정, 오일 및 가스 공정, 세탁 및 섬유 공정에서 글리콜산의 적용이 가능하다.

[0004] Du Pont Company에서 통상적으로 생산되는 글리콜산은 고온 및 고압 조건에서 화석 연료원으로부터 물과 산 촉매가 존재할 때 포름알데하이드와 일산화탄소의 반응을 통해 생산된다. 다른 제조사에서는 클로로아세트산과 소듐 하이드록시드의 직접 반응과 재산성화(reacidification)를 통해 글리콜산을 제조한다. 그 외, 글리콜산을 합성하는 다른 화학적인 방법으로는 (1) 에틸렌 글리콜을 글리콜알데하이드로 산화한 후 글리콜산으로 산화하는 방법 및 (2) 포름알데하이드 시아노하이드린을 제조한 후 이를 수화하는 방법이 있다.

[0005] 최근 화석 연료의 고갈로 인한 우려가 증가함에 따라, 글리옥실산 셉트(glyoxylate shunt) 경로에 관여하는 유전자를 과발현하여 이를 담지한 형질전환된 미생물에서 글리콜산을 생산하는 방법이 개발되어 왔다. 반면에, 글리콜산은 종래 연구에서 *E. coli*의 Dahms 경로를 이용하여 에틸렌 글리콜을 생산하기 위해 자일로스를 발효하는 과정에서 생성되는 부산물로 알려져 있었다. 아울러, 글리옥실산 셉트 경로를 역으로 적용하는 방법을 통해 탄소를 보존하면서 순차적으로 글리콜산의 생산을 증가시킬 수 있는 방법이 보고되어 있다. 그러나, 지금까지 Dahms 경로와 글리옥실산 셉트 경로를 결합하여 글리콜산을 생합성하는 방법에 대한 연구는 보고된 바 없다.

선행기술문헌

비특허문헌

[0007] (비특허문헌 0001) Mainguet, S. E., L. S. Gronenberg, S. S. Wong, and J. C. Liao (2013) A reverse glycolate shunt to build a non-native route from C4 to C2 in *Escherichia coli*. *Metab. Eng.* 19: 116-127.

발명의 내용

해결하려는 과제

[0008] 본 발명은 자일로스로부터 글리콜산을 효율적으로 생산할 수 있는 형질 전환된 대장균(재조합 대장균)과 이를 제조하는 방법을 제공한다. 또한 상기 형질 전환된 대장균을 이용하여 글리콜산을 생산하는 방법을 제공한다.

과제의 해결 수단

[0010] 상기 목적을 달성하기 위하여, 본 발명은 대장균에서 자일로스 이소머라제(xylose isomerase) 유전자 *xyIA* 및 자일루로키나아제(xylulokinase) 유전자 *xyIB* 녹아웃 시키는 단계(단계 a); 단계 a의 대장균에서 글리콜산 옥시다아제(glycolate oxidase) 유전자 *glcD*를 녹아웃시키는 단계(단계 b); 및 자일로스 디하이드로게나아제(xylose dehydrogenase) 유전자 *xdh*를 포함하는 발현벡터를 이용하여 단계 b의 대장균을 형질전환시키는 단계(단계 c)를 포함하는, 글리콜산 생산능을 갖는 형질전환 대장균의 제조방법을 제공한다.

[0011] 상기 자일로스 이소머라제 유전자 *xyIA*는 서열번호 1로 기재되는 염기서열로 구성될 수 있다.

[0012] 상기 자일루로키나아제 유전자 *xyIB*는 서열번호 2로 기재되는 염기서열로 구성될 수 있다.

[0013] 상기 글리콜산 옥시다아제 유전자 *glcD*는 서열번호 3으로 기재되는 염기서열로 구성될 수 있다.

[0014] 상기 자일로스 디하이드로게나아제 유전자 *xdh*는 카우로박터 크리센투스(*Caulobacter crescentus*)로부터 유래된 것으로서 서열번호 4로 기재되는 염기서열로 구성될 수 있다.

[0015] 상기 단계 c의 발현벡터는 자일론산 디하이드라타제(xylonic acid dehydratase) 유전자 *yjhG*, 자일론산 디하이

트라타제(xylonic acid dehydratase) 유전자 *yagF*, 자일론산 디하이드라타제(xylonic acid dehydratase) 유전자 *xy1D*, 2,3-케토 자일론산 알돌라아제(2,3-keto xylonate aldolase) 유전자 *yjhH*, 2,3-케토 자일론산 알돌라아제(2,3-keto xylonate aldolase) 유전자 *yagE*, 락트알데하이드 디하이드로게나아제(lactaldehyde dehydrogenase) 유전자 *aldA*, 글리옥실산 환원효소(glyoxylate reductase) 유전자 *ycdW*, 이소시트르산 리아제(isocitrate lyase) 유전자 *aceA*, 이소시트르산 디하이드로게나아제 키나아제/포스파타제(isocitrate dehydrogenase kinase/phosphatase) 유전자 *aceK*, 말산 티오키나아제(malate thiokinase) 유전자 *sucC-2*, 말산 티오키나아제(malate thiokinase) 유전자 *sucD-2* 및 말릴-CoA 리아제(malyl-CoA lyase) 유전자 *mcl-1*으로 이루어진 군 중 하나 이상을 더 포함할 수 있으며, 상기 유전자들은 각각 기재된 순서대로 서열번호 5, 6, 7, 8, 9, 10, 11, 12, 13, 14, 15 및 16으로 기재되는 염기서열로 구성될 수 있다.

[0016] 상기 단계 c의 발현백터는, 자일론산 디하이드라타제 유전자 *yagF*, 2,3-케토 자일론산 알돌라아제 유전자 *yagE*, 락트알데하이드 디하이드로게나아제 유전자 *aldA*, 글리옥실산 환원효소 유전자 *ycdW*, 이소시트르산 리아제 유전자 *aceA* 및 이소시트르산 디하이드로게나아제 키나아제/포스파타제 유전자 *aceK*의 조합을 포함하는 것이 바람직할 수 있다.

[0017] 상기 대장균은 *E. coli* W3110(DE3)일 수 있다.

[0019] 또한 본 발명은, 자일로스 이소머라제 유전자 *xy1A*, 자일루로키나아제(xylulokinase) 유전자 *xy1B* 및 글리콜산 옥시다아제 유전자 *g1cD*가 녹아웃된 대장균을, 자일로스 디하이드로게나아제 유전자 *xdh*를 포함하는 발현백터로 형질전환시킨, 글리콜산 생산능을 갖는 형질전환 대장균을 제공한다.

[0020] 상기 발현백터는 자일론산 디하이드라타제 유전자 *yjhG*, 자일론산 디하이드라타제 유전자 *yagF*, 자일론산 디하이드라타제 유전자 *xy1D*, 2,3-케토 자일론산 알돌라아제 유전자 *yjhH*, 2,3-케토 자일론산 알돌라아제 유전자 *yagE*, 락트알데하이드 디하이드로게나아제 유전자 *aldA*, 글리옥실산 환원효소 유전자 *ycdW*, 이소시트르산 리아제 유전자 *aceA*, 이소시트르산 디하이드로게나아제 키나아제/포스파타제 유전자 *aceK*, 말산 티오키나아제 유전자 *sucC-2*, 말산 티오키나아제 유전자 *sucD-2* 및 말릴-CoA 리아제 유전자 *mcl-1*으로 이루어진 군 중 하나 이상을 더 포함할 수 있다.

[0021] 또한 본 발명은, 자일로스 이소머라제 유전자 *xy1A*, 자일루로키나아제 유전자 *xy1B* 및 글리콜산 옥시다아제 유전자 *g1cD*를 녹아웃시킨 대장균을, 자일로스 디하이드로게나아제 유전자 *xdh*, 자일론산 디하이드라타제 유전자 *yagF*, 2,3-케토 자일론산 알돌라아제 유전자 *yagE*, 락트알데하이드 디하이드로게나아제 유전자 *aldA*, 글리옥실산 환원효소 유전자 *ycdW*, 이소시트르산 분해효소 유전자 *aceA* 및 이소시트르산 디하이드로게나아제 키나아제/포스파타제 유전자 *aceK*를 포함하는 발현백터로 형질전환시킨, 글리콜산의 생산능을 갖는 형질전환 대장균을 제공한다.

[0022] 또한 본 발명은, 자일로스 이소머라제 유전자 *xy1A*, 자일루로키나아제 유전자 *xy1B* 및 글리콜산 옥시다아제 유전자 *g1cD*를 녹아웃시킨 대장균을, 자일로스 디하이드로게나아제 유전자 *xdh*, 자일론산 디하이드라타제 유전자 *yagF*, 2,3-케토 자일론산 알돌라아제 유전자 *yagE*, 락트알데하이드 디하이드로게나아제 유전자 *aldA* 및 글리옥실산 환원효소 유전자 *ycdW*를 포함하는 제1 발현백터와 이소시트르산 분해효소 유전자 *aceA* 및 이소시트르산 디하이드로게나아제 키나아제/포스파타제 유전자 *aceK*를 포함하는 제2 발현백터로 형질전환시킨, 글리콜산의 생산능을 갖는 형질전환 대장균을 제공한다.

[0023] 상기 제1 발현백터는 pACM4이고, 제2 발현백터는 pETM6일 수 있다.

[0024] 또한 본 발명은, 자일로스 이소머라제 유전자 *xy1A*, 자일루로키나아제 유전자 *xy1B* 및 글리콜산 옥시다아제 유전자 *g1cD*가 녹아웃되고, 자일로스 디하이드로게나아제 유전자 *xdh*를 포함하는 발현백터로 형질전환된 대장균을, 자일로스를 포함하는 배지에 배양시키는 단계(단계 1); 및 단계 1에서 배양된 배양물로부터 글리콜산을 수득하는 단계(단계 2)를 포함하는, 글리콜산의 생산 방법을 제공한다.

[0025] 상기 단계 1의 배양은 진탕 플라스크 발효(shake flask fermentation) 방법을 사용할 수 있다.

발명의 효과

[0027] 본 발명에 따르면 자일로스로부터 글리콜산을 대량 생산할 수 있는 형질전환 대장균을 제공할 수 있다. 또한 본 발명에 따르면, 자일로스로부터 글리콜산을 생산하는 과정에서 발생하는 부산물을 글리콜산 생합성경로로 도입시킬 수 있는 바, 부산물의 생산은 현저히 낮추면서 동시에 높은 수율로 글리콜산을 생산할 수 있다.

도면의 간단한 설명

- [0029] 도 1은 본 발명의 일 실시예에 따른 형질전환 미생물을 이용하여, Dahms 경로와 변형된 글리옥실산 선트 경로를 통해 글리콜산을 생합성하는 과정을 나타내는 것이다.
- 도 2는 4 g/L 자일로스를 사용하여 37℃에서 72시간 동안 진탕 플라스크 발효하고 250 rpm에서 교반한 후에 GA1 균주를 초기에 배양하는 과정에서 생성되는 대사산물의 농도를 나타낸 그래프이다.
- 도 3은 10 g/L 자일로스를 사용하여 72시간 동안 진탕 플라스크 발효한 후에 대조균인 GA0과 GA1 균주에서 생산되는 글리콜산 및 자일론산의 농도를 나타낸 그래프이다.
- 도 4는 10 g/L 자일로스를 사용하여 37℃에서 72시간동안 안 진탕 플라스크 발효하고 250 rpm에서 교반한 후에, 자일론산 디하이드라타제인 *xdh*가 모두 과발현되어 있고, *C. crescentus* 유래 *xy1D*, *E. coli* 유래 *yjhG* 및 *yagF* 가 각각 과발현되어 있는 GA2, GA3 및 GA4 균주에서 생산되는 글리콜산 및 자일론산의 농도를 나타낸 그래프이다.
- 도 5는 10 g/L 자일로스를 사용하여 37℃에서 72시간 동안 진탕 플라스크 발효하고 250 rpm에서 교반한 후에 GA5와 GA6 균주에서 생산되는 글리콜산 및 자일론산의 농도를 나타낸 그래프이다.
- 도 6은 서로 다른 자일론산 디하이드라타제가 과발현되어 있는 균주에서의 락탈알데하이드 디하이드로게나아제 (*aldA*)의 과발현이 글리콜산 생산에 미치는 영향을 분석한 그래프이다.
- 도 7은 96시간 동안 진탕 플라스크 발효한 후에 모듈 I 플라스미드와 모듈 II의 플라스미드의 유전자를 각자 또는 모두 갖고 있는 균주들로부터 생산되는 글리콜산의 농도를 비교한 결과이다.
- 도 8은 96시간 동안 진탕 플라스크 발효한 후에 모듈 I 플라스미드와 모듈 II의 플라스미드의 유전자를 모두 갖고 있으나 서로 다른 유전자가 결실된 균주인 GA14와 GA21로부터 생산되는 글리콜산의 농도 및 수율을 비교한 결과이다.

발명을 실시하기 위한 구체적인 내용

[0030] 이하, 실시예를 통하여 본 발명을 보다 상세하게 설명한다. 본 발명의 목적, 특징, 장점은 이하의 실시예를 통하여 쉽게 이해될 것이다. 본 발명은 여기서 설명하는 실시예에 한정되지 않고, 다른 형태로 구체화될 수도 있다. 여기서 소개되는 실시예는 본 발명이 속하는 기술 분야에서 통상의 지식을 가진 자에게 본 발명의 사상이 충분히 전달될 수 있도록 하기 위해 제공되는 것이다. 따라서 이하의 실시예에 의해 본 발명이 제한되어서는 안 된다.

[0032] <실시예>

[0033] **글리콜산 생산능을 갖는 형질전환 미생물의 제조**

[0034] 본 발명에서 사용한 모든 균주와 플라스미드는 하기 표 1과 같다.

표 1

본 발명에서 사용한 플라스미드 및 균주

[0035]

플라스미드/균주	상대적 특징	참조
pACM4	pACYC-Duet derivative; with ePathBrick feature; T7 promoter; Cmr	Xu et al., 2012
pETM6	pET-Duet derivative; with ePathBrick feature; T7 promoter; Ampr	Xu et al., 2012
pTrcHis2A	pBR322 derivative; Trc promoter; rrnB anti-terminator; lacIq;Ampr	Invitrogen
pX	<i>Caulobacter crescentus</i> 유래 코돈-최적화된 <i>xdh</i> 를 담지한 pACM4	본 발명
pXD	<i>C. crescentus</i> 유래 코돈-최적화된 <i>xdh</i> 및 <i>xy1D</i> 를 담지한 pACM4	본 발명
pXG	<i>C. crescentus</i> 유래 코돈-최적화된 <i>xdh</i> 및 <i>E. coli</i> 유래 <i>yjhG</i> 를 담지한 pACM4	본 발명
pXF	<i>C. crescentus</i> 유래 코돈-최적화된 <i>xdh</i> 및 <i>E. coli</i> 유래 <i>yagF</i> 를 담지한 pACM4	본 발명

pXE	<i>C. crescentus</i> 유래 코돈-최적화된 <i>xdh</i> 및 <i>E. coli</i> 유래 <i>yagE</i> 를 담지한 pACM4	본 발명
pXH	<i>C. crescentus</i> 유래 코돈-최적화된 <i>xdh</i> 및 <i>E. coli</i> 유래 <i>yjhh</i> 를 담지한 pACM4	본 발명
pEFX	<i>E. coli</i> 유래 <i>yagE</i> 및 <i>yagF</i> ; <i>C. crescentus</i> 유래 코돈-최적화된 <i>xdh</i> 를 담지한 pACM4	본 발명
pEAGX	<i>E. coli</i> 유래 <i>yagE</i> , <i>aldA</i> 및 <i>yjhG</i> ; <i>C. crescentus</i> 유래 코돈-최적화된 <i>xdh</i> 를 담지한 pACM4	본 발명
pEADX	<i>E. coli</i> 유래 <i>yagE</i> 및 <i>aldA</i> ; <i>C. crescentus</i> 유래 코돈-최적화된 <i>xy1D</i> 및 <i>xdh</i> 를 담지한 pACM4	본 발명
pEAFX	<i>E. coli</i> 유래 <i>yagE</i> , <i>aldA</i> 및 <i>yagF</i> ; <i>C. crescentus</i> 유래 코돈-최적화된 <i>xdh</i> 를 담지한 pACM4	본 발명
pEAX	<i>E. coli</i> 유래 <i>yagE</i> 및 <i>aldA</i> ; <i>C. crescentus</i> 유래 코돈-최적화된 <i>xdh</i> 를 담지한 pACM4	본 발명
pEAFX(Module I)	<i>E. coli</i> 유래 <i>yagE</i> , <i>aldA</i> , <i>yagF</i> 및 <i>ycdW</i> ; <i>C. crescentus</i> 유래 코돈-최적화된 <i>xdh</i> 를 담지한 pACM4	본 발명
pCD	<i>Methylococcus capsulatus</i> 유래 코돈-최적화된 <i>sucC-2</i> 및 <i>sucD-2</i> 를 담지한 pETM6	본 발명
pK	<i>E. coli</i> 유래 <i>aceK</i> 를 담지한 pETM6	본 발명
pM	<i>Rhodobacter sphaeroides</i> 유래 코돈-최적화된 <i>mcl1</i> 을 담지한 pETM6	본 발명
pA	<i>E. coli</i> 유래 <i>aceA</i> 를 담지한 pETM6	본 발명
pCDM	<i>M. capsulatus</i> 유래 코돈-최적화된 <i>sucC-2</i> 및 <i>sucD-2</i> ; <i>R. sphaeroides</i> 유래 코돈-최적화된 <i>mcl1</i> 을 담지한 pETM6	본 발명
pKA	<i>E. coli</i> 유래 <i>aceK</i> 및 <i>ceA</i> 를 담지한 pETM6	본 발명
pCDKMA(Module II)	<i>M. capsulatus</i> 유래 코돈-최적화된 <i>sucC-2</i> 및 <i>sucD-2</i> ; <i>R. sphaeroides</i> 유래 코돈-최적화된 <i>mcl1</i> ; <i>E. coli</i> 유래 <i>aceK</i> 및 <i>aceA</i> 를 담지한 pETM6	본 발명
<i>E. coli</i> DH5 α	F' Φ80lacZ ΔM15 (lacZYA-argF)U169 deoR recA1 endA1 hsdR17(rk-,mk+)phoA supE44 thi-1 gyrA96 relA1	Enzynomics
<i>E. coli</i> W3110 (DE3) xylAB	Fmcra mcrB IN(rrnDrrnE)1λ (DE3); ATCC No.27325; with deletion in xylAB genes	Liu et al., 2012
GA0-1	<i>E. coli</i> W3110 (DE3) ΔxylAB ΔgldC pACM4	본 발명
GA0-2	<i>E. coli</i> W3110 (DE3) ΔxylAB ΔgldC pACM4 and pETM6	본 발명
GA1	<i>E. coli</i> W3110 (DE3) ΔxylAB ΔgldC pX	본 발명
GA2	<i>E. coli</i> W3110 (DE3) ΔxylAB ΔgldC pXD	본 발명
GA3	<i>E. coli</i> W3110 (DE3) ΔxylAB ΔgldC pXG	본 발명
GA4	<i>E. coli</i> W3110 (DE3) ΔxylAB ΔgldC pXF	본 발명
GA5	<i>E. coli</i> W3110 (DE3) ΔxylAB ΔgldC pXE	본 발명
GA6	<i>E. coli</i> W3110 (DE3) ΔxylAB ΔgldC pXH	본 발명
GA7	<i>E. coli</i> W3110 (DE3) ΔxylAB ΔgldC pEFX	본 발명
GA8	<i>E. coli</i> W3110 (DE3) ΔxylAB ΔgldC pEAGX	본 발명
GA9	<i>E. coli</i> W3110 (DE3) ΔxylAB ΔgldC pEADX	본 발명
GA10	<i>E. coli</i> W3110 (DE3) ΔxylAB ΔgldC pEAFX	본 발명
GA11	<i>E. coli</i> W3110 (DE3) ΔxylAB ΔgldC pEAX	본 발명
GA12	<i>E. coli</i> W3110 (DE3) ΔxylAB ΔgldC pEAFX	본 발명
GA13	<i>E. coli</i> W3110 (DE3) ΔxylAB ΔgldC pEAFX and pCDKMA	본 발명
GA14	<i>E. coli</i> W3110 (DE3) ΔxylAB ΔgldC pEAFX and pCDKMA	본 발명
GA15	<i>E. coli</i> W3110 (DE3) ΔxylAB ΔgldC pEAFX and pA	본 발명
GA16	<i>E. coli</i> W3110 (DE3) ΔxylAB ΔgldC pEAFX and pCD	본 발명
GA17	<i>E. coli</i> W3110 (DE3) ΔxylAB ΔgldC pEAFX and pK	본 발명
GA18	<i>E. coli</i> W3110 (DE3) ΔxylAB ΔgldC pEAFX and pM	본 발명
GA19	<i>E. coli</i> W3110 (DE3) ΔxylAB ΔgldC pEAFX and pKA	본 발명
GA20	<i>E. coli</i> W3110 (DE3) ΔxylAB ΔgldC pEAFX and pCDM	본 발명
GA21	<i>E. coli</i> W3110 (DE3) ΔxylAB ΔgldCDEFGB ΔaceB pEAFX and pCDKMA	본 발명

[0036] 하기 표 2의 프라이머를 사용하여 *E. coli* 유래 유전자를 복제하기 위해 중합효소 연쇄반응(PCR)하는 과정에서 *E. coli* W3110의 DNA를 주형으로 사용할 동안, 카우로박터 크레센투스(*Caulobacter crescentus*) 유래 *xdh*, 로도박터 스페로이드(*Rhodobacter sphaeroides*) 유래 *mcl* 및 메틸로코커스 캡슐라투스(*Methylococcus*

capsulatus) 유래 *sucC-2* 및 *sucD-2*를 코돈-최적화하였다.

표 2

본 발명에서 사용한 프라이머 서열

[0037]

프라이머	서열 5' → 3' / 제한효소	기능
cc-xdh-F	CGGTCATATGTCTTCTGCGATCTACCCG [NdeI](서열번호 17)	xdh 유전자의 증폭
cc-xdh-R	CTTTCTCGAGTCAACGCCAACCCGC [XhoI](서열번호 18)	
cc-xy1D-F	CTGTATATGCGTTCTGCGCTGTCTAAC [NdeI](서열번호 19)	xy1D 유전자의 증폭
cc-xy1D-R	CGTTCTCGAGTCAGTGGTTGTGACGC [XhoI](서열번호 20)	
yjhG-F	GGGGCATATGTCTGTTCGCAATATTTT [NdeI](서열번호 21)	yjhG 유전자의 증폭
yjhG-R	CGCCCTCGAGTCAGTTTTTATTATAAAAATCGC [XhoI](서열번호 22)	
yagF-F	CCCGCATATGACCATTGAGAAAATT [NdeI](서열번호 23)	yagF 유전자의 증폭
yagF-R	CTCTCTCGAGTAAATTCGAGCGC [XhoI](서열번호 24)	
yjhH-F	CCCGCATATGAAAAATTCAGCGCATTA [NdeI](서열번호 25)	yjhH 유전자의 증폭
yjhH-R	CTCTCTCGAGTCTCTCAGACTGGTAA [XhoI](서열번호 26)	
yagE-F	CTCGCATATGATTCAGCAAGGAGATC [NdeI](서열번호 27)	yagE 유전자의 증폭
yagE-R	CTCTCTCGAGTCAGCAAAGCTTGAGCTG [XhoI](서열번호 28)	
ycdW-F	CCCGCATATGGATATCATCTTTTATCACCC [NdeI](서열번호 29)	ycdW 유전자의 증폭
ycdW-R	CTTTCTCGAGTTAGTAGCCGCTGCGC [XhoI](서열번호 30)	
aceA-F	CCAACAATTGGATGAAAACCCGTACACAAC [MunI](서열번호 31)	aceA 유전자의 증폭
aceA-R	CTTTCTCGAGTTAGAACTGCGATTCTTCAG [XhoI](서열번호 32)	
aceK-F	AAAACATATGCCGCGTGGCCTGGAAT [NdeI](서열번호 33)	aceK 유전자의 증폭
aceK-R	AAAACCTCGAGTCAAAAAGCATCTCCCATAC [XhoI](서열번호 34)	
aldA-F	CCACCATATGTCAGTACCCGTTCAACATC [NdeI](서열번호 35)	aldA 유전자의 증폭
aldA-R	CCCCCTCGAGTTAAGACTGTAAATAAACCCAC [XhoI](서열번호 36)	
mc1-F	CCAACATATGTCTTTCCGCTGCA [NdeI](서열번호 37)	mc11 유전자의 증폭
mc1-R	CAACCTCGAGTCACGCAGAGATCATTT [XhoI](서열번호 38)	
sucC-2-F	CCAACATATGAACATCCACGAATACCAGG [NdeI](서열번호 39)	sucC-2 유전자의 증폭
sucC-2-R	CAACCTCGAGTTAACCTTTAACGATCGCAAC [XhoI](서열번호 40)	
sucD-2-F	CCCCCATATGTCTGTTTTCGTTAA [NdeI](서열번호 41)	sucD-2 유전자의 증폭
sucD-2-R	CAAACCTCGAGTCAGAAACGGATACC [XhoI](서열번호 42)	
glcD-KO-F	gctggaaaaaggtgtgtgtgtgatggcgcgctttaaCATATGAATATCCTCCTTAGT(서열번호 43)	glcD 파열 카세트(disruption cassette)의 증폭
glcD-KO-R	AAATCATATTGCTGCGATAAACGGCAATGCCTTCCAGTAGTGTAGGCTGGAGCTGCTTCG(서열번호 44)	
glcD-Ver-F	ATGAGCATCTTGTACGAAGA(서열번호 45)	glcD 파열 확인
glcD-Ver-R	TTCAGGGAAAGGTAATGAC(서열번호 46)	
glcB-KO-F	ttctctgcacggagcctcgctgctgtttatccgcaactgCATATGAATATCCTCCTTAGT(서열번호 47)	glcB 파열 카세트(disruption cassette)의 증폭
glcB-KO-R	TTCAAATTCAGCATGAACCTCGTCTGGCAATGTTGGCTGTGTAGGCTGGAGCTGCTTCG(서열번호 48)	
glcB-Ver-F	cgcacatcaacgatgttatc(서열번호 49)	glcB 파열 확인
glcB-Ver-R	GCCACATGTGAATATCCGG(서열번호 50)	
aceB-KO-F	tactgaccagactggaacaaagtgatcgacgggcaaa CATATGAATATCCTCCTTAGT(서열번호 51)	aceB 파열 카세트(disruption cassette)의 증폭
aceB-KO-R	ACCGTTATTGGCTTCCAGCGATTTATCCGCTTTACTTTGGTGTAGGCTGGAGCTGCTTCG(서열번호 52)	
aceB-Ver-F	gaaacagcttccattcgcg(서열번호 53)	aceB 파열 확인
aceB-Ver-R	GTAATCGCGCGTCTGTTC(서열번호 54)	
yagF-His-F	CCCCTCGAGAACCATTGAGAAAATT [XhoI](서열번호 55)	His tag이 부착된 yagF 유전자의 증폭
yagF-His-R	CCCAAGCTTAATTCGAGCGCTTTTT [HindIII](서열번호 56)	

[0038]

PCR 산물은 NdeI/XhoI 또는 MunI/XhoI으로 처리하였고, Mattheos Koffas에서 제공하고 동일한 효소로 처리된 pACM4(Addgene plasmid # 49797) 또는 pETM6(Addgene plasmid # 49795)로 복제하였다.

[0039]

첫 번째 모듈 플라스미드는 각각의 유전자가 독립적인 프로모터(promoter) 하에서 하나의 종결자(terminator)를

공유하는 슈도-오페론 배열(pseudo-operon configuration)로 제작하였다. 공여자 벡터는 Avr II/Sal I 으로 처리한 후 Spe I/Sal I 으로 처리한 목적 벡터와 연결하였다. 열린 해독 틀(open reading frame)이 있는 Sal I 자리를 포함하는 *yagF*와 *ycdW* 유전자를 제작하기 위해, Avr II/Nhe I 로 공여자 벡터를 처리한 후, Spe I/Nhe I 으로 처리되고 탈인산화된 목적 벡터와 연결하였다.

[0040] 두 번째 모듈 플라스미드에서, *sucC-2* 및 *sucD-2* 유전자를 오페론 배열로 제작하였고 다른 유전자들은 슈도-오페론 배열로 제작하였다. 재조합 플라스미드는 화학적 또는 전기적으로 활성화된 *E. coli* 세포로 형질전환시켰다. 화학적으로 활성화된 *E. coli* 세포는 형질전환 및 보관 용액(storage solution)을 사용한 원-스텝 방법(one-step method)으로 제작하였다. 다른 DNA 조작, 전기천공법을 통한 형질전환 및 단백질 수준 발현 분석은 표준 절차(Sambrook and Russell, 2001)에 따라 수행하였다. 유전자가 제거된 균주는 원-스텝 유전자 비활성화 방법(Cherepanov and Wackernagel, 1995; Cabulong *et al.*, 2017)을 사용하여 제작하였다.

[0042] <실험예>

[0043] **진탕-플라스크 발효를 통한 글리콜산의 생산**

[0044] 진탕-플라스크 발효는 1 g/L 펩톤이 추가된 M9 배지 100 mL, 효모 추출물 0.5 g/L, 자일로스 10 g/L, MgSO₄ 1 mM, MOPS 20 g/L, 클로람페니콜 35 µg/mL 및 암피실린 100 µg/mL를 사용하여 수행하였다. 하룻밤동안 배양시킨 배양액 2 mL를 각각의 플라스크에 접종한 후 37°C에서 72 ~ 96시간동안 발효시킨 후 250 rpm으로 교반하여 배양하였다. 배양액의 OD₆₀₀이 0.3 AU에 도달했을 때 IPTG 0.5 mM을 추가하여 유도를 수행하였다. 특정 시간 간격에서, 바이오매스의 OD₆₀₀을 측정하고 시료 1 mL는 HPLC를 사용하여 기질과 대사산물을 정량화하기 위해 수집하였다. 발효는 최소 두 번에 걸쳐 수행하였다.

[0046] **효소 정제**

[0047] 효소를 정제하기 위해 플라스미드 pTrcHis2A에서 히스티딘이 태그된 *yjhG* 또는 *yagF* 유전자가 과발현된 *E. coli* W3110(DE3) *xylAB glcD*를 사용하였다. 여기서, *xylAB*는 자일로스 이소머라제(xylose isomerase) 유전자인 *xyIA*와 자일루로키나아제(*xylu*lokinase) 유전자인 *xyIB*를 결실시켰다는 것을 의미하며, *glcD*는 글리콜산 옥시다아제(*glycolate oxidase*) 유전자인 *glcD*를 결실시켰다는 것을 의미한다. 간략하게, 재조합된 균주는 LB 브로쓰 배지에서 배양하고 배양액의 OD₆₀₀이 0.3 AU에 도달했을 때 IPTG 0.5 mM을 추가하였다. 5시간동안 유도 후, 4°C에서 15분동안 4,000xg로 원심분리하여 세포를 수집하였다. Macherey-Nagel의 Protino Ni-TED 2000 packed columns 프로토콜에 따라, Lysis-Cquilibration-Wash(LEW) 버퍼(50 mM NaH₂PO₄, 300 mM NaCl, pH 8.0) 2-5 mL에서 펠렛된 세포를 재현탁시켰다. 그 후 세포를 파괴하기 위해 리소자임(lysozyme)을 첨가하여 최종 농도를 1 mg/mL로 만들었고, 얼음에서 30분 동안 용액을 저었다. 이후에 얼음에서 5분 동안 15초의 냉각 시간과 15초의 세포 파열 간격을 두면서 초음파처리를 하였다. 그 후 4°C에서 30분 동안 10,000xg로 시료를 원심분리한 후 상청액으로 세포 용해물을 수득하였다. 1x LEW 버퍼로 Protino Ni-TED column을 평형상태로 만든 후에, 세포 용해물은 중력에 의해 컬럼을 통과하였다. 1x LEW 버퍼로 컬럼을 세척한 후 용출 버퍼를 사용하여 폴리히스티딘이 태그된 단백질을 용출시켰다. 하룻밤동안 1x LEW 버퍼를 사용하여 투석을 수행하였다. 정제된 단백질은 폴리아크릴아마이드 겔에서 시각화시키고, Bradford assay 방법을 기반으로 한 Bio-Rad 단백질 키트를 사용하여 농도를 측정하였다.

[0049] **효소 분석**

[0050] *yagF* 및 *yjhG* 디하이드라타제의 효소 활성은 세미카바자이드 어세이(semicarbazide assay)를 사용하여 측정하였다. Tris-HCl 50 mM(pH 8.0), MgCl₂ 100 mM, 자일론산 10 mM, 적정 양의 디하이드라타제 및 물을 포함하여 0.15 mL 부피로 반응 혼합물을 만들었다. 30°C에서 30분동안 혼합물을 배양한 후, 세미카바자이드 시약 1 mL를 첨가하여 냉각시켰다. 30°C에서 15분동안 혼합물을 다시 배양한 후, UV-Vis spectrophotometer Agilent 8453을 사용하여 250 nm에서 흡광도를 측정하였다. 디하이드라타제의 활성은 분당 1 µmol의 2-케토-3-디옥시-D-자일론산(KDX)의 형성을 측정하는 효소의 양으로 정의하였고, 10,200 M⁻¹ cm⁻¹의 몰 흡광 계수를 기반으로 측정하였다.

[0052] **실험예 1: 자일로스 디하이드로게나아제가 과발현된 균주의 글리콜산 생산량 분석**

[0053] 종래 연구에서, 글리콜산은 Dahms 경로를 통해 에틸렌 글리콜이 발효되는 과정에서 생성되는 부산물이라고 알려져 있었다. 글리콜산은 *xdh*가 높은 수준으로 발현되어 있을 때 생성되지만 바이오매스를 형성하기 위해 세포에서 리-어시밀레이션(re-assimilation)된다. 따라서, 본 발명에서는 글리콜산이 리-어시밀레이션(re-assimilation)되는 것을 막기 위해 글리콜산 옥시다아제를 코딩하는 *glcD* 유전자를 제거하였다(도 1). 그 후 자

일론산 축적을 감소시키기 위해 카피수가 적은 플라스미드 벡터(low copy plasmid vector)인 pACM4로 *xdh*를 복제하였다. 자일로스가 처음 12시간 동안 소비되는 과정에서 당 소비가 관찰되었고 이는 자일론산의 축적으로 이어졌다; 자일론산이 리-어시밀레이션(re-assimilation)됨에 따라 바이오매스와 글리콜산의 생산량이 증가하였다(도 2). *xdh* 유전자가 단독으로 과발현된 GA1 균주는 초기 발효과정에서 4 g/L 자일로스로부터 0.30 g/g 수율로 글리콜산 1.21 g/L를 생산한 것을 확인할 수 있었다.

[0054] 생산되는 글리콜산의 역가(titer)를 향상시키기 위해, 초기 자일로스 농도를 4 g/L에서 10 g/L로 증가시켰다. 실험 결과, 공플라스미드를 담지하는 대조군 균주인 GA0에서는 자일로스 농도가 증가한 경우에도, 72시간 발효 후에 자일론산과 글리콜산이 축적되지 않았다. 반면에 GA1 균주는 글리콜산 역가의 예상 증가량보다 낮은 0.20 g/g의 수율로 1.96 g/L의 글리콜산을 생산하였다. 이는 발효가 끝난 후에도 3.21 g/L의 자일론산이 배지에 남아 심각한 자일론산의 축적으로 이어졌기 때문에 글리콜산의 생산량이 감소한 것으로 보여진다(도 3). 자일론산의 축적은 *xdh*의 높은 발현과 낮은 경로 활성 때문인 것으로 보인다. 자일론산의 축적은 (a) *xdh* 발현을 낮추고(또는 낮추거나) (b) Dahms 경로에서 생성되는 산물들을 다른 중간체로 빠르게 전환시키기 위해 다운스트림 효소를 과발현함으로써 경감시킬 수 있을 것으로 판단된다.

[0056] **실험예 2: 자일론산 디하이드라타제가 과발현된 균주의 글리콜산 생산량 분석**

[0057] 글리콜산의 생산량을 증가시키기 위하여, 자일론산 디하이드라타제의 과발현 및 효소 선별을 수행하였다. 자일론산 디하이드라타제는 자일론산에서 2,3-케토 자일론산으로의 전환을 촉매하고, 효율적인 자일론산 디하이드라타제는 배지에서 자일론산의 축적을 낮추거나 제거함으로써 자일로스를 글리콜산으로 빠르게 전환시키는 것으로 예상된다. 72시간 동안 발효 후 축적되는 자일론산과 글리콜산을 기반으로 *C. crescentus* 유래 *xyID*와 *E. coli* 유래 *yagF* 및 *yjhG*로 코딩되는 자일론산 디하이드라타제를 비교하기 위해 GA2, GA3 및 GA4 균주를 각각 제작하여 비교하였다. 실험 결과, 도 4와 같이 발효 후 배지에 GA2, GA3 및 GA4로부터 각각 3.55, 1.96 및 0.64 g/L의 자일론산이 남아 축적되었고, 글리콜산은 1.43, 1.55 및 1.64 g/L만큼 생산된 것을 확인할 수 있었다. 세 균주 중 과발현된 *yagF*을 포함하는 GA4 균주에서 자일론산이 가장 적게 축적되었고 글리콜산이 가장 많이 생산되었다. 이는 *yagF* 유전자가 글리콜산 생산에 적합한 자일론산 디하이드라타제라는 것을 의미한다. 이를 추가로 확인하기 위해, *E. coli*에서 유래한 잠정적인 두 가지의 자일론산 디하이드라타제인 *yagF* 및 *yjhG*의 활성을 비교하고자 효소 분석을 수행하였다. 분석 결과, *yagF* 및 *yjhG*의 효소 활성은 각각 34.5 및 13.5 nmol/min/mg으로 나타났다(표 3).

표 3

[0059] 정제된 자일론산 디하이드라타제의 효소 활성

자일론산 디하이드라타제	효소 활성(nmol/min/mg)
YagF	34.5 ± 6.36
YjhG	13.5 ± 0.71

[0060] 이를 통해 *yagF*가 *yjhG*보다 더 높은 효소 활성을 갖고 있으며, 발효과정에서 *yagF*가 *yjhG*에 비해 글리콜산 생산에 좋은 자일론산 디하이드라타제인 것을 확인할 수 있었다.

[0062] **실험예 3: 2,3-케토 자일론산 알돌라아제가 과발현된 균주의 글리콜산 생산량 분석**

[0063] 이어서, *E. coli*에서 유래한 2,3-케토 자일론산 알돌라아제의 선별을 수행하였다. 2,3-케토 자일론산 알돌라아제는 성장에 필요한 피루브산과, 글리콜산 또는 에틸렌 글리콜로 전환되는 글리콜알데하이드를 형성하기 위해 2,3-케토 자일론산을 절단한다. 자일론산 디하이드라타제를 선별한 실험과 유사하게, *E. coli*에서 유래한 *yagE*와 *yjhh*를 과발현시켰고, 72시간 동안 발효 후 축적되는 자일론산과 글리콜산을 기반으로 *yagE* 및 *yjhh*로 코딩되는 2,3-케토 자일론산 알돌라아제를 비교하기 위해 GA5 및 GA6 균주를 각각 제작하여 비교하였다. 도 5에서 나타내는 바와 같이, GA5와 GA6 균주를 적용한 경우, 배지에 남은 자일론산은 각각 3.24 및 3.30 g/L이었고, 글리콜산은 각각 1.59 및 1.34 g/L만큼 생산되는 것으로 확인되었다. *yagE*가 과발현된 GA5 균주는 GA6 균주보다 높은 글리콜산 생산량을 보였으나 자일론산 축적에서는 현저한 차이가 나타나지 않았다. 이를 통해 *yagE* 유전자가 글리콜산 생산에 적합한 2,3-케토 자일론산 알돌라아제라는 것을 확인할 수 있었다. 그러나 GA2, GA3, GA4, GA5 및 GA6 균주는 GA1 균주에 비해 상당히 낮은 양의 글리콜산을 생산하는 것으로 나타났다. 이는 자일론산 디하이드라타제와 2,3-케토 자일론산 알돌라아제의 과발현에 관여하는 대사 부담과/또는 알려지지 않은 조절 때문인 것으로 보여진다.

[0065] 실험예 4: 형질전환 균주를 통한 락트알데하이드 디하이드로게나아제의 효과 분석

[0066] Dahms 경로에 관여하는 모든 효소들의 효율적인 작용은 중간체의 효율적인 전환과 중간체의 독성 축적을 방지하는 과정으로 이어지며, 이는 대사 공학에서 최종 역가를 증가시키는 주요 요소 중 하나이다. 본 실험에서는, Dahms 경로에 관여하는 *xdh*, *yagF* 및 *yagE* 세 가지 유전자를 포함하는 플라스미드를 재조합하고 *E. coli* 숙주로 형질전환시켜 GA7 균주를 제작하고 글리콜산 생산을 시험하였다. 실험 결과 글리콜산의 생산이 증가할 것이라는 예상과는 달리, GA7 균주는 1.43 g/L의 글리콜산을 생산하는 것으로 확인되었다(도 6). 이는 글리콜산을 합성시키기 위한 탄소 풀(pull of carbon)이 상기 세 가지 유전자들을 과발현시키는 것만으로는 충분하지 않다는 것을 의미한다. 이후, 자일로스 디하이드로게나아제, 자일론산 디하이드라타제, 2,3-케토 자일론산 알돌라아제 및 락토알데하이드 디하이드로게나아제가 과발현된 플라스미드에서 자일론산 디하이드라타제 유전자만 변화시켜 재조합한 균주들을 이용하여 추가로 발효 실험을 진행하였다. 실험 결과, 상기 네 가지 유전자가 모두 과발현됨에 따라 글리콜산의 생산량이 현저히 증가하는 것을 확인할 수 있었다(도 6). *yjhG*가 과발현된 GA8 균주는 2.74 g/L, *xyID*가 과발현된 GA9 균주는 3.28 g/L, *yagF*가 과발현된 GA10 균주는 3.96 g/L의 글리콜산을 생산하였다. 테스트에 사용한 균주 중 GA10 균주가 0.40 g/g의 수율로 가장 높은 글리콜산 역가를 보였다. 이는 *yagF*의 과발현이 높은 글리콜산의 생산량을 부여하는 것을 의미한다. 아울러 *xdh*, *yagE* 및 *aldA*만 과발현시킨 GA11 균주를 제작하여 실험한 결과, 심각한 자일론산의 축적을 확인할 수 있었다. 이는 *E. coli* 내 자일론산 디하이드라타제의 낮은 활성이 Dahms 경로에 병목 현상을 일으켜서 자일론산을 축적시키고, 동시에 글리콜산의 역가와 생산성을 감소시킨다는 것을 의미한다.

[0068] 실험예 5: 글리콜산 생산에 대한 글리옥실산 환원효소의 효과 확인

[0069] 모듈 I 플라스미드를 완성하기 위해, 글리옥실산 환원효소를 코딩하는 *ycdW* 를 네 개의 유전자를 포함하는 플라스미드(pEAFX)에 연결시켜, Dahms 경로를 통해 글리콜산을 생산하는 GA12 균주를 제작하고 발효 실험을 진행하였다. *ycdW*는 글리옥실산을 글리콜산으로 전환하는 과정을 촉매한다. 실험 결과 글리콜산의 역가는 *ycdW*가 과발현됨에 따라 증가할 것으로 예상되었으나, GA10이 생산한 글리콜산과 비교한 결과 GA10은 3.96 g/L를 생산한 반면에 GA12는 3.72 g/L를 생산하는 것으로 확인되었다. 96시간 발효 후 두 균주 사이에서 생산되는 글리콜산의 생산량이 유의한 차이를 보이지는 않았다.

[0070] 이후, 플라스미드 pEAFX 및 모듈 II 플라스미드로 형질전환시켜 제조한 GA13 균주를 이용하여 실험하였다. 두 번째 모듈 플라스미드는 *sucC-2* 및 *sucD-2*로 코딩되는 메틸로코커스 캡슐라투스 유래 말산 티오키나아제; *mc11*으로 코딩되는 로도박터 스페로이드 유래 말릴-CoA 리아제; 및 *E. coli* 유래 *aceA* 및 *aceK*를 포함한다. 상기 유전자들은 글리옥실산에 대한 탄소 플럭스를 증가시키기 위해 높은 카피수의 플라스미드(high copy plasmid)로 포함시켰다.

[0071] 모듈 II 플라스미드를 포함하는 균주를 제작하여 발효를 진행한 결과, 글리콜산의 생산량이 현저히 증가하였다(도 7). GA13 균주는 4.18 g/L의 글리콜산을 생산하였고, GA10 및 GA12 균주에 비해 글리콜산을 더 많이 생산한 것으로 나타났다. *ycdW*가 글리콜산 생산에 중요한 역할을 하는지 확인하기 위해 GA14 균주를 제조하여 실험을 진행한 결과, 4.51 g/L의 글리콜산을 생산하는 것으로 확인되었다. 매우 글리콜산 역가에 도달한 것을 확인하였는 바, 이는 *ycdW*가 Dahms 경로 내 중간체 중 하나에 작용하더라도 글리옥실산 선트 경로에 관여하는 글리콜산의 생합성에 중요한 효소라는 것과, 글리옥실산에 대해 높은 친화성을 갖는다는 것을 의미한다.

[0073] 실험예 6: 글리콜산 생산에 대한 모듈 II 플라스미드 유전자의 효과 확인 1

[0074] 모듈 II 플라스미드 유래 유전자 중 GA14 균주의 글리콜산의 생산량을 증가시키는 데 관여하는 유전자를 확인하기 위해, 모듈 I 플라스미드와 함께, 모듈 II 플라스미드의 유전자를 개별적으로 발현시켜 GA15(*aceA* 과발현), GA16(*sucC-2* 및 *sucD-2* 과발현), GA17(*aceK* 과발현) 및 GA18(*mc11* 과발현) 균주를 제작하여 실험을 진행하였다. 실험 결과, 상기 균주들은 각각 4.07, 3.36, 3.00 및 3.39 g/L의 글리콜산을 생산하였다. GA15 균주는 GA13 균주와 글리콜산 생산량에 큰 차이가 없었으나 GA14 균주에 비해 상당히 낮은 글리콜산 생산량을 보였다. 아울러, GA16, GA17 및 GA18 균주도 GA14 균주에 비해 훨씬 낮은 글리콜산 생산량을 보였다. 이는 글리콜산의 생산량을 증가시키는 과정에서 모듈 II 플라스미드의 유전자를 하나만 과발현시키는 것은 유전자들을 조합하는 것에 비해 충분하지 않다는 것을 의미한다.

[0076] 실험예 7: 글리콜산 생산에 대한 모듈 II 플라스미드 유전자의 효과 확인 2

[0077] 글리옥실산 선트 경로는 *aceK*에 의해 조절되며, 이소시트르산을 -케토글루타르산으로 전환하는 과정을 촉매하는 효소인 이소시트르산 디하이드로게나아제의 인산화 상태에 따라 조절된다. 상기 효소가 인산화될 경우 효소의

활성이 감소하게 되어 글리옥실산 선트가 활성화된다. *aceK*의 발현 수준이 낮을 경우, *aceA*를 단독 과발현시키는 것만으로는 글리콜산 생산량을 증가시키기에 충분하지 않을 수 있다. 본 실험에서는, *aceA*와 *aceK*를 함께 과발현시켜 제조한 GA19 균주를 이용하여 글리콜산 생산량을 분석하였다. 상기 균주는 4.57 g/L의 글리콜산을 생산하였는 바, 글리콜산 생산에 매우 유리하다는 것을 알 수 있다.(표 4).

표 4

모듈 I 플라스미드와 모듈 II 플라스미드의 유전자 조합을 담지하는 균주의 글리콜산 역가 및 수율

균주	플라스미드	글리콜산 (g/L)	수율 (g/g)
GA14	첫 번째, 두 번째 모듈	4.51 ± 0.18	0.45
GA19	첫 번째 모듈 및 pKA	4.57 ± 0.24	0.46
GA20	첫 번째 모듈 및 pCDM	2.96 ± 0.40	0.35

[0079] 이후, 모듈 I 과 *sucC-2* 및 *sucD-2*가 과발현된 GA20 균주로 실험을 진행한 결과, 2.96 g/L의 글리콜산을 생산하는 것을 확인할 수 있었다. 상기 결과에서 *aceK* 및 *aceA*가 글리옥실산 형성에 관여하여 글리콜산을 생산하는 중요한 유전자라는 것을 알 수 있다.

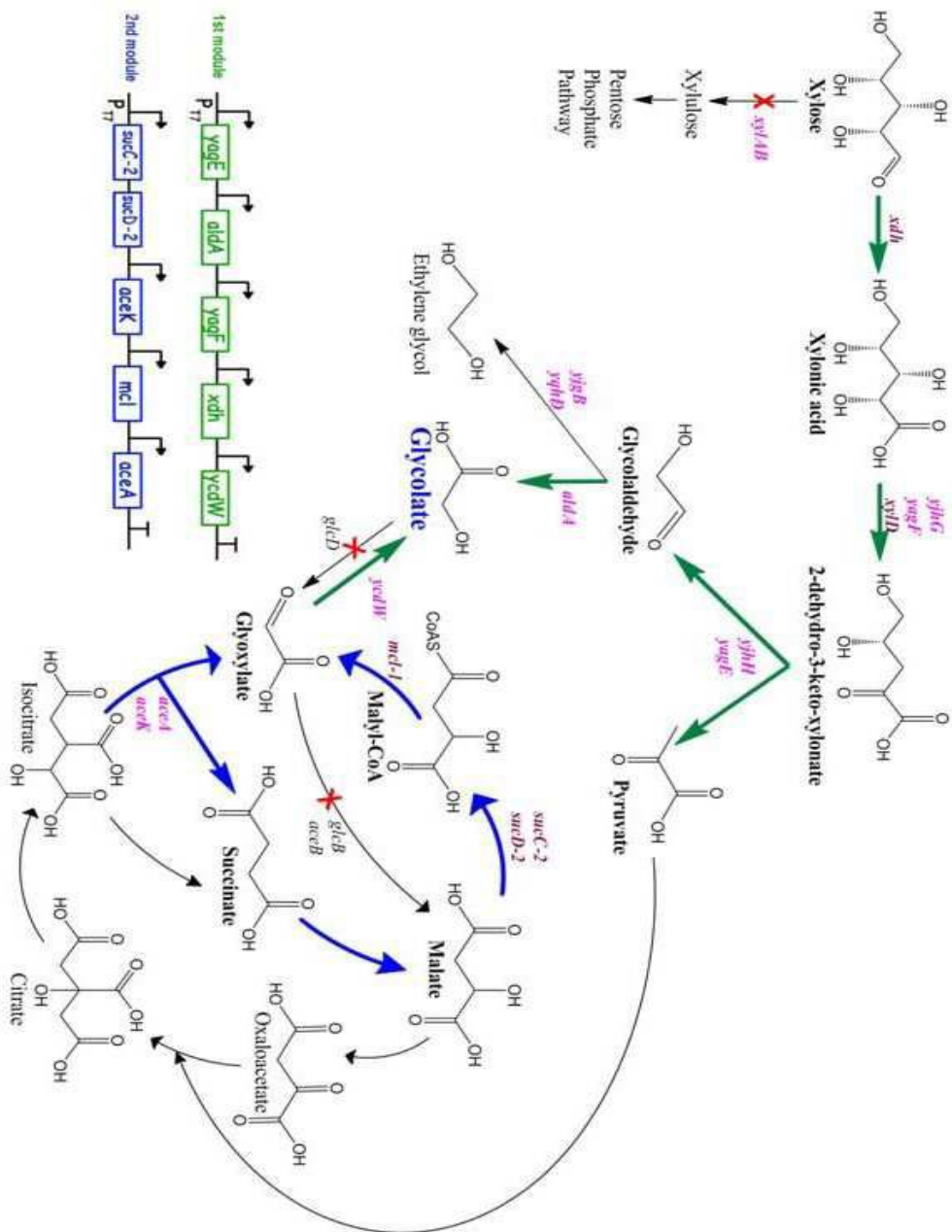
[0081] **실험예 8: 글리콜산 생산에 대한 말산 합성효소 유전자의 효과 확인**

[0082] GA14 균주를 통해 글리콜산의 생산량을 더 증가시킬 수 있는지 확인하기 위해, 말산 합성효소 G와 말산 합성효소 A를 코딩하는 *glcB* 및 *aceB* 유전자를 추가로 결실시킨 균주 GA21을 제작하고 실험을 진행하였다. 참고로, GA21 균주 제작과정에서 *glcD*와 *glcB* 유전자를 결실시킬 때 *glcD*와 *glcB* 사이에 있는 *glcE*(서열번호 57), *glcF*(서열번호 58) 및 *glcG*(서열번호 59) 유전자도 함께 결실되는데, 이는 *glcD* 자리에 남아있는 플립과제 인식 타겟(flippase recognition target, FRT)이 *glcB*와 *glcD* 유전자의 FRT 자리를 모두 인식하기 때문이다. 따라서 플립과제 활성과정에서 *glcD*와 *glcB* 사이에 있는 *glcE*, *glcF* 및 *glcG* 유전자도 함께 결실된다. GA21 균주는 글리옥실산이 말산으로 전환되는 과정이 차단되어 글리콜산 생산 수율이 증가될 것으로 예상되었다. 그러나 예상과 달리, 96시간 발효 후 GA21 균주가 매우 낮은 생산성으로 인해 0.41 g/g의 수율로 2.49 g/L의 글리콜산을 생산하는 것으로 확인되었다(도 8). 이는 세포가 갖는 유전자의 추가적인 제거가 대사에 부담이 된 것으로 보인다. 균주의 글리콜산 생산성, 역가 및 수율을 더욱 향상시키기 위해서는 추가적인 공학 기술이 더 필요할 것으로 사료된다.

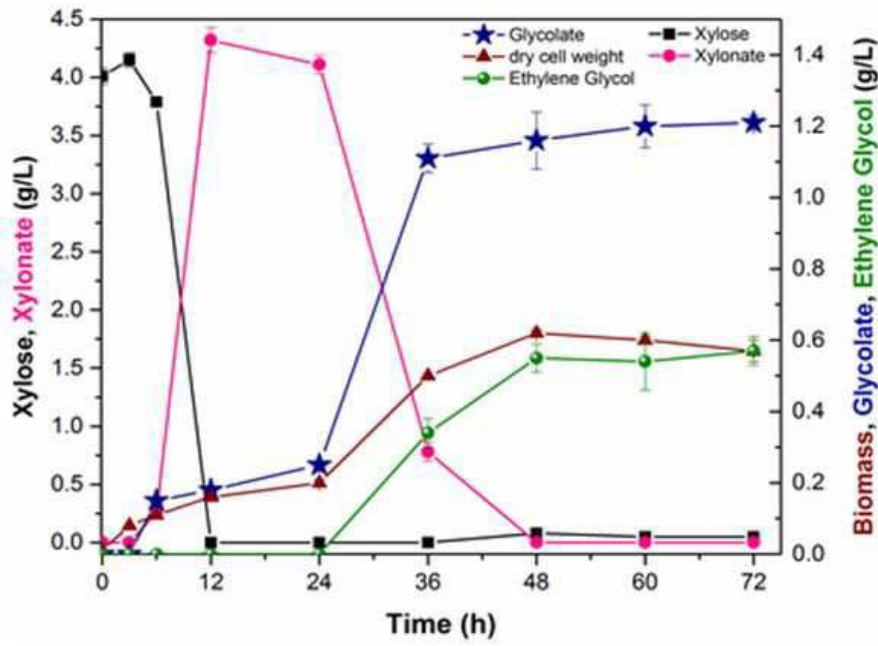
[0084] 이상으로 본 발명 내용의 특정한 부분을 상세히 기술하였는바, 당업계의 통상의 지식을 가진 자에게 있어서 이러한 구체적 기술은 단지 바람직한 실시 양태일 뿐이며, 이에 의해 본 발명의 범위가 제한되는 것이 아닌 점은 명백할 것이다. 따라서, 본 발명의 실질적인 범위는 첨부된 청구항들과 그것들의 등가물에 의하여 정의된다고 할 것이다.

도면

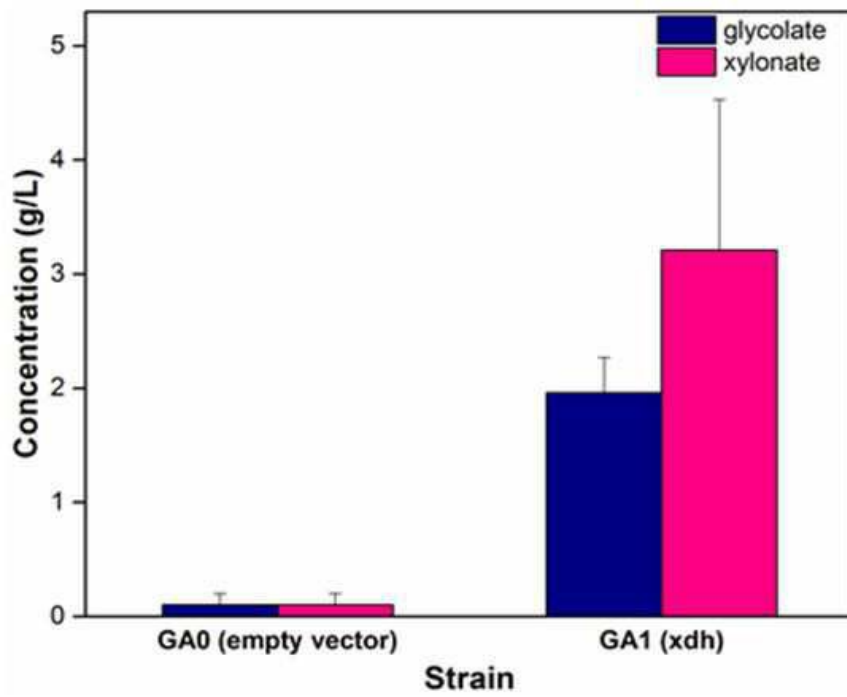
도면1



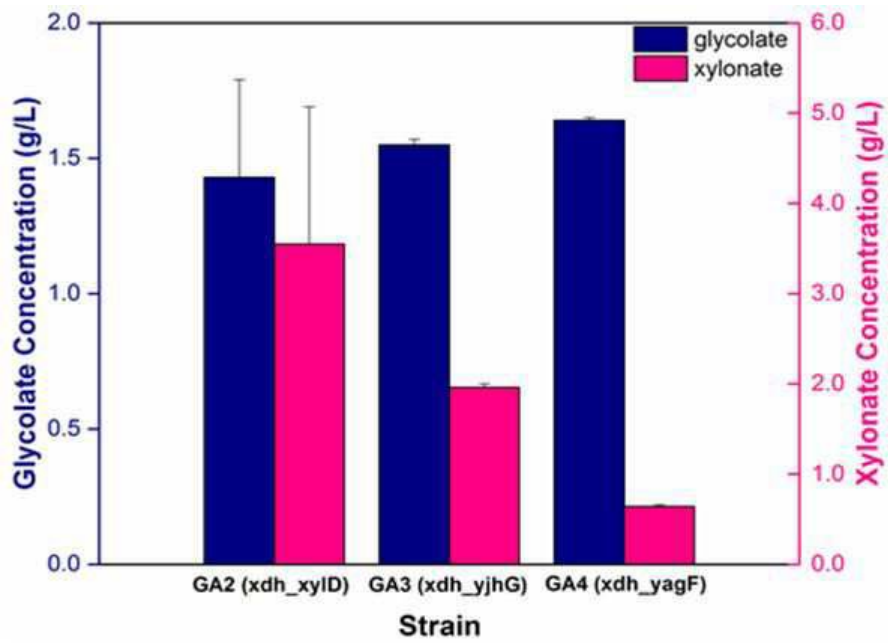
도면2



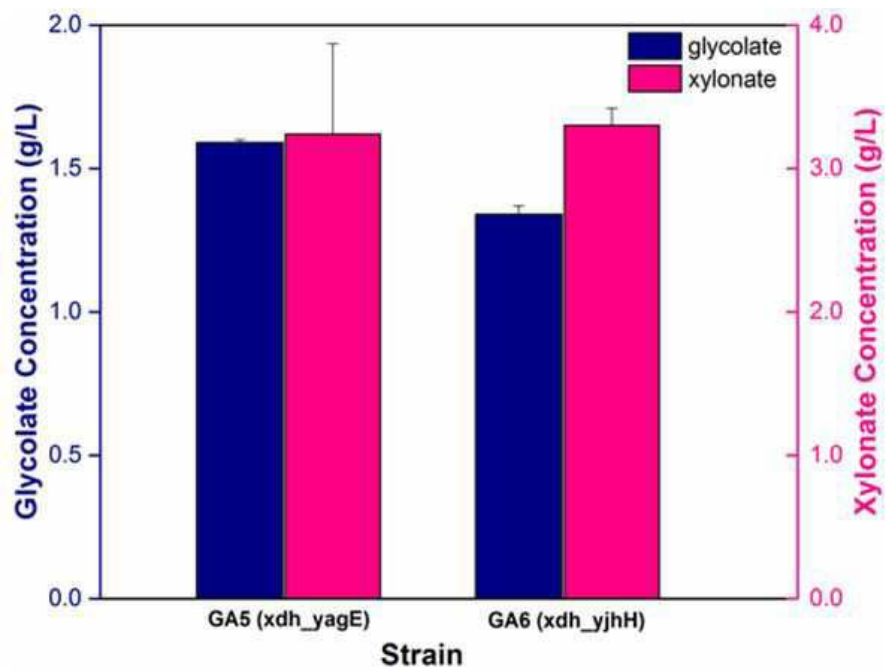
도면3



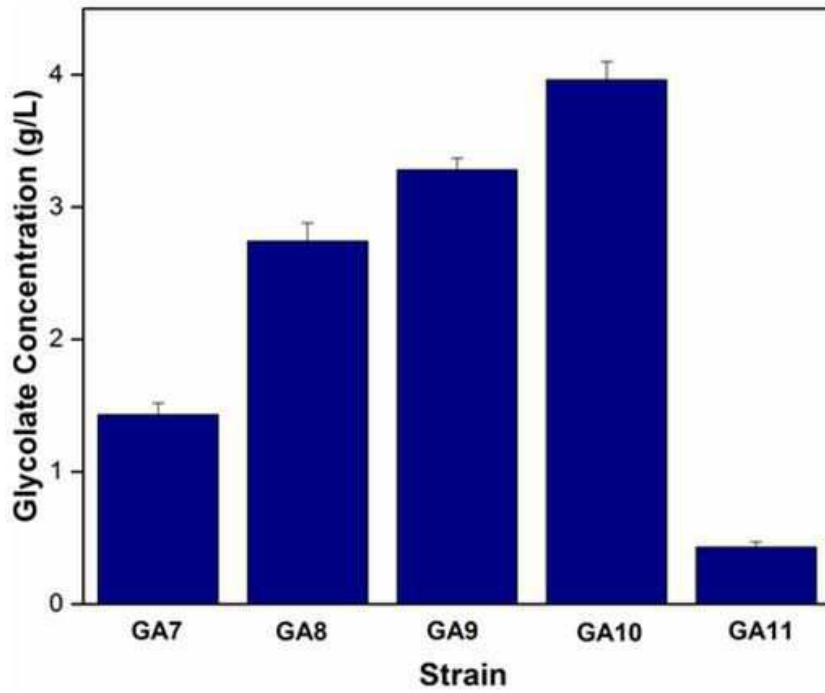
도면4



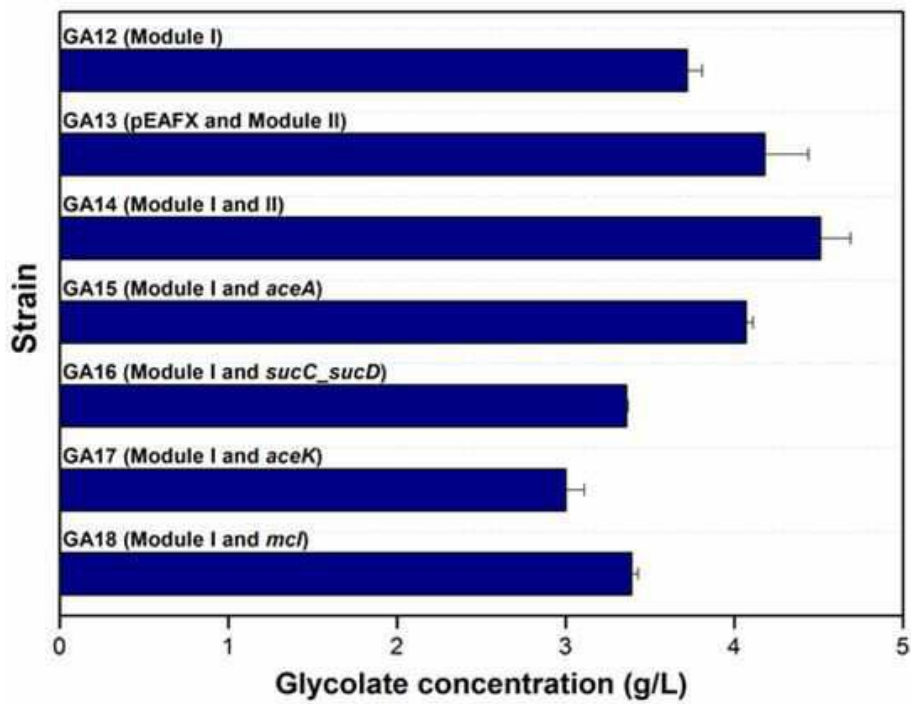
도면5



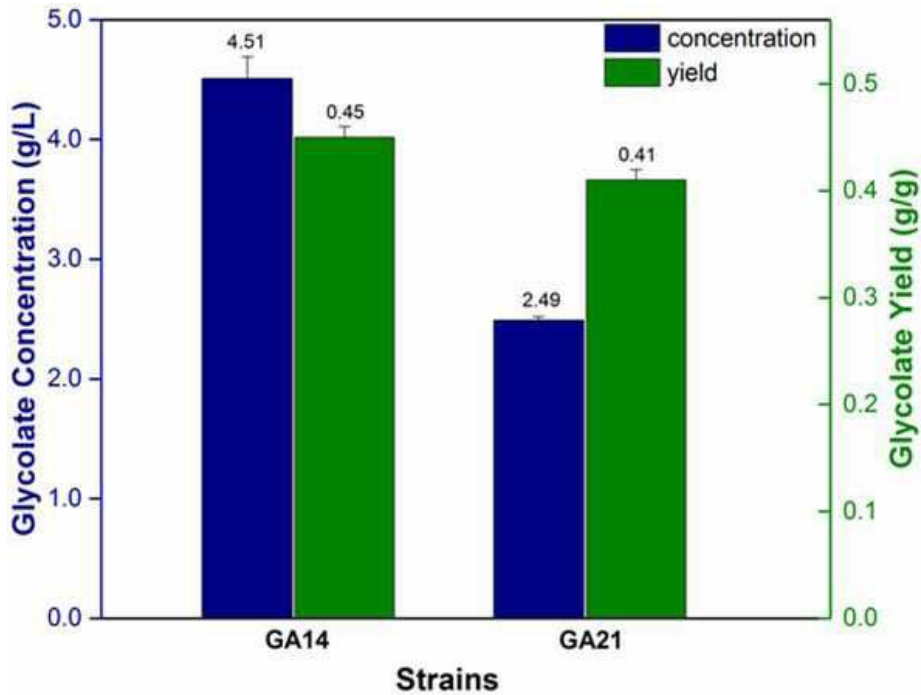
도면6



도면7



도면8



서열 목록

<110> MYONGJI UNIVERSITY INDUSTRY AND ACADEMIA COOPERATION FOUNDATION

<120> ESCHERICHIA COLI PRODUCING GLYCOLATE FROM XYLOSE, METHOD FOR PREPARING THE SAME AND METHOD FOR PRODUCING GLYCOLATE USING THE SAME

<130> P17-0067

<160> 59

<170> KoPatent In 3.0

<210> 1

<211> 1323

<212> DNA

<213> Artificial Sequence

<220><223> Escherichia coli W3110 xylose isomerase xylA gene

<400> 1

atgcaagcct attttgacca gctcgatcgc gttcgttatg aaggetcaaa atcctcaaac 60

ccgtagcat tccgtcacta caatcccac gaactggtgt tgggtaagcg tatggaagag 120

cacttgcggtt ttgccgctg ctactggcac accttctgct ggaacggggc ggatatgttt 180

ggtgtggggg cgtttaatcg tccgtggcag cagcctggtg aggcactggc gttggcgaag 240

cgtaaagcag atgtgcatt tgagtttttc cacaagttac atgtgccatt ttattgcttc 300

cacgatgtgg atgtttcccc tgaggcgcg tcgttaaaag agtacatcaa taattttgcg 360
 caaatggttg atgtcctggc aggcaagcaa gaagagagcg gcgtgaagct gctgtgggga 420
 acggccaact gctttacaaa ccctcgctac ggcgcgggtg cggcgacgaa cccagatcct 480

gaagtcttca gctgggcggc aacgcaagt gttacagcga tggaagcaac ccataaattg 540
 ggcggtgaaa actatgtcct gtggggcggc cgtgaagtt acgaaacgct gttaaatacc 600
 gacttgcgtc aggagcgtga acaactgggc cgctttatgc agatggtggt tgagcataaa 660
 cataaaatcg gttccaggg cacgttgctt atcgaaccga aaccgcaaga accgacaaa 720
 catcaatatg attacgatgc cgcgacggtc tatggcttcc tgaaacagtt tggctctggaa 780
 aaagagatta aactgaacat tgaagctaac cacgcgacgc tggcaggtca ctctttccat 840
 catgaaatag ccaccgcat tgcgcttggc ctgttcggtt ctgtcgacgc caaccgtggc 900

gatgcgcaac tgggctggga caccgaccag ttcccgaaca gtgtggaaga gaatgcgctg 960
 gtgatgtatg aaattctcaa agcaggcggc ttaccaccg gtggtctgaa cttcgatgcc 1020
 aaagtacgtc gtcaaagtac tgataaata gatctgtttt acggtcatat cggcgcgatg 1080
 gatacgatgg cactggcgtc gaaaattgca gcgcgcatga ttgaagatgg cgagctggat 1140
 aaacgcatcg cgcagcgtta ttccggctgg aatagcgaat tgggccagca aatcctgaaa 1200
 ggccaaatgt cactggcaga tttagccaaa tatgctcagg aacatcattt gtctccggtg 1260
 catcagagtg gtcgccagga acaactggaa aatctggtaa accattatct gttcgacaaa 1320

taa 1323

<210> 2
 <211> 1455
 <212> DNA
 <213> Artificial Sequence
 <220><223> Escherichia coli W3110 xylulose kinase xylB gene
 <400> 2

atgtatatcg ggatagatct tggcacctcg ggcgtaaaag ttattttct caacgagcag 60
 ggtgaggttg ttctgcgca aacgaaaag ctgaccgttt cgcgcccgca tccactctgg 120
 tcggaacaag acccgaaca gtggtggcag gcaactgac gcgcaatgaa agctctgggc 180
 gatcagcatt ctctgcagga cgtaaagca ttgggtattg ccggccagat gcacggagca 240

accttgctgg atgctcagca acgggtgtta cgccttcca ttttgtgaa cgacgggcgc 300
 tgtgcgcaag agtgcacttt gctggaagcg cgagtccgc aatcgcggtt gattaccggc 360
 aacctgatga tgcccggatt tactgcgcct aaattgtat gggttcagcg gcatgagccg 420

gagatattcc gtcaaatcga caaagtatta ttaccgaaag attacttgcg tctgcgtatg 480
acgggggagt ttgccagcga tatgtctgac gcagctggca ccatgtggct ggatgtcgca 540
aagcgtgact ggagtgacgt catgctgcag gcttgcgact tatctcgtga ccagatgccc 600
gcattatacg aaggcagcga aattactggg gctttgttac ctgaagttgc gaaagcgtgg 660

ggtatggcga cggtgccagt tgtcgcaggc ggtggcgaca atgcagctgg tgcagttggt 720
gtgggaatgg ttgatgctaa tcaggcaatg ttatcgtctg ggacgtcggg ggtctatfff 780
gctgtcagcg aagggttctt aagcaagcca gaaagcggc tacatagctt ttgcatgcg 840
ctaccgcaac gttggcattt aatgtctgtg atgctgagtg cagcgtcgtg tctggattgg 900
gccgcgaaat taaccggcct gagcaatgtc ccagctttaa tcgctgcagc tcaacaggct 960
gatgaaagtg ccgagccagt ttggtttctg cttatcttt ccggcgagcg tacgccacac 1020
aataatccc aggcgaaggg ggttttcttt ggtttgactc atcaacatgg cccaatgaa 1080

ctggcgcgag cagtgtctga aggcgtgggt tatgctctgg cagatggcat ggatgtcgtg 1140
catgcctcgc gtattaaacc gcaaagtgtt acgttgattg ggggcggggc gcgtagttag 1200
tactggcgtc agatgctggc ggatatcagc ggtcagcagc tcgattaccg tacggggggg 1260
gatgtggggc cagcactggg cgcagcaagg ctggcgcaga tcgcggcgaa tccagagaaa 1320
tcgctcattg aattgttcc gcaactaccg ttagaacagt cgcactacc agatgcgcag 1380
cgttatgccg cttatcagc acgacgagaa acgttccgtc gcctctatca gcaacttctg 1440
ccattaatgg cgtaa 1455

<210> 3

<211> 1500

<212> DNA

<213> Artificial Sequence

<220><223> Escherichia coli W3110 glycolate oxidase glcD gene

<400> 3

atgagcatct tgiacgaaga gcgtcttgat ggcgctttac ccatgtcga cgcacatcg 60
gtactgatgg cactgcgtga gcatgtccct ggacttgaga tcctgcatac cgatgaggag 120
atcattcctt acgagtgtga cgggttgagc gcgtatcgca cgcgtccatt actggttgtt 180
ctgcctaagc aaatggaaca ggtgacagcg attctggctg tctgcatcg cctgcgtgta 240
ccggtggtga cccgtggtgc aggcaccggg ctttctggtg gcgcgctgcc gctggaaaaa 300

ggtgtgttgt tggatgagc gcgctttaaa gagatcctcg acattaacct cgttggtcgc 360
cgcgcgcgcg tgcagccagg cgtgcgtaac ctggcgatct cccaggccgt tgcaccgcat 420

aatctctact acgcaccgga cccttcctca caaatcgctt gttccattgg cggcaatgtg 480
gctgaaaatg ccggcggcgt ccactgcctg aaatatggtc tgaccgtaca taacctgctg 540
aaaaattgaag tgcaaacgct ggacggcgag gcactgacgc ttggatcgga cgcgctggat 600
tcacctggtt ttgacctgct ggcgctgttc accggatcgg aaggtatgct cggcgtgacc 660
accgaagtga cggtaaaact gctgccgaag ccgcccggtg cgcgggttct gttagccagc 720

tttgactcgg tagaaaaagc cggacttgcg gttggtgaca tcatcgccaa tggcattatc 780
cccggcgggc tggagatgat ggataacctg tcgatccgcg cggcgggaaga ttttattcat 840
gccggttate ccgtcgacgc cgaagcgatt ttgttatgcg agctggacgg cgtggagtct 900
gacgtacagg aagactgcga gcgggttaac gacatcttgt tgaaagcggg cgcgactgac 960
gtccgtctgg cacaggacga agcagagcgc gtacgtttct gggccggtcg caaaaatgcg 1020
ttcccggcgg taggacgtat ctccccgat tactactgca tggatggcac catcccgcgt 1080
cgcgcctgc ctggcgtact ggaaggcatt gcccgtttat cgcagcaata tgatttacgt 1140

gttgccaacg tctttcatgc cggagatggc aacatgcacc cgtaaatcct tttcgatgcc 1200
aacgaacccg gtgaatttgc ccgcgcggaa gagctgggcg ggaagatcct cgaactctgc 1260
gttgaagtgt gcgcgacat cagtggcgaa catggcatcg ggcgagaaaa aatcaatcaa 1320
atgtgcgcc agttcaacag cgatgaaatc acgaccttc atgcggtcaa ggcggcgttt 1380
gaccccgatg gtttctgaa ccctgggaaa aacattccca cgctacacc ctgtgctgaa 1440
tttggtgcca tgcatgtgca tcacggtcat ttaccttcc ctgaactgga gcgtttctga 1500
1500

<210> 4
<211> 747
<212> DNA
<213> Artificial Sequence
<220><223> Caulobacter crescentus NA1000_codon optimized Xdh gene
<400> 4

atgtcttctg cgatctacc gtctctgaaa ggtaaacgtg ttgttatcac cgggtgtggt 60
tctggatcgt gtgcgggtct gaccgcgggt ttcgcgcgtc agggtgcgga agttatcttc 120
ctggacatcg cggacgaaga ctctcgtgcg ctggaagcgg aactggcggg ttctccgatc 180
ccgccggttt acaaacgttg cgacctgatg aacctggaag cgatcaaagc ggttttcgcg 240
gaaatcgggt acgttgacct tctggttaac aacgcgggta acgacgacc tcacaaactg 300

gcggacgtta ccggtgcgta ctgggacgaa cgtatcaac ttaacctgcg tcacatgctg 360

ttctgcacc aggcggttgc gccgggatg aaaaaactg gtggtggtgc ggttatcaac 420
 ttcggttcta tctcttgga cctgggtctg gaagacctg ttctgtacga aaccgcgaaa 480
 gcgggtatcg aaggtatgac ccgtgcgctg gcgcgtgaac tgggtccgga cgacatccgt 540
 gttacctgcg ttgttccggg taacgttaaa accaaactgc aggaaaaatg gtacaccccg 600
 gaagtggaag cgcagatcgt tgcggcgcag tgcctgaaag gtcgtatcgt tccgaaaaac 660
 gttgcggcgc tggttctgtt cctggcgtct gacgacgcgt ctctgtgcac cggtcacgaa 720

 tactggatcg acgcgggttg gcgttga 747
 <210> 5
 <211> 1968
 <212> DNA
 <213> Artificial Sequence
 <220><223> Escherichia coli W3110 dehydratase gene YjhG
 <400> 5
 atgtctgttc gcaatatttt tgctgacgag agccacgata tttacaccgt cagaacgcac 60
 gccgatggcc cggacggcga actcccatta accgcagaga tgcttatcaa cgcgccgagc 120
 ggggatctgt tcggtatgac catgaatgcc ggaatgggtt ggtctccgga cgagctggat 180
 cgggacggta tttfactgct cagtacactc ggtggcttac gcggcgcaga cggtaaacc 240

 gtggcgtgg cgttgcacca ggggcattac gaactggaca tccagatgaa agcggcggcc 300
 gaggttatta aagccaacca tgcctgccc tatgccgtgt acgtctccga tccttgtgac 360
 gggcgtactc aggttacaac ggggatgttt gattcgtac cataccgaaa tgacgcatcg 420
 atggtaatgc gccgccttat tcgctctctg cccgacgcga aagcagttat tgggtggcg 480
 agttgcgata aggggcttcc ggccaccatg atggcactcg ccgcgcagca caacatcgca 540
 accgtgctgg tccccggcgg cgcgacgctg cccgcaaagg atggagaaga caacggcaag 600
 gtgcaaacca ttggcgcacg ctteccaat ggcgaattat ctctacagga cgcacgccgt 660

 gcgggctgta aagcctgtgc ctctccggc ggcggctgtc aattttggg cactgccggg 720
 acatctcagg tggtagccga aggattggga ctggcaatcc cacattcagc cctggccct 780
 tccggtgagc ctgtgtggcg ggagatgcc agagcttccg cgcgagctgc gctgaacctg 840
 agtcaaaaag gcataccac ccgggaaatt ctaccgata aagcataga gaatgcatg 900
 acgtccatg ccgcgttcgg tggttcaaca aacctgctgt tacacatccc ggcaattgct 960
 caccaggcag gttgcatat cccgacctt gatgactgga tccgcatcaa caagcgcgtg 1020
 ccccactgg tgacgctact gcctaattgc ccggtttatc atccaacggt caatgccttt 1080

atggcagggtg gtgtgccgga agtcatgttg catctgcgca gcctcggatt gttgcatgaa 1140
gacgttatga cggttaccgg cagcacgctg aaagaaaacc tcgactgggtg ggagcactcc 1200
gaacggcgtc agcggttcaa gcaactcctg ctcgatcagg aacaaatcaa cgctgacgaa 1260
gtgatcatgt ctccgcagca agcaaaagcg cgcggattaa cctcaactat caccttcccg 1320
gtgggcaata ttgccacaga aggttcgggtg atcaaatcca ccgccattga ccctcgtatg 1380
attgatgagc aaggatctca ttaccataaa ggtgtggcga aggtttatct gtccgagaaa 1440
agtgcgattt acgatatcaa acatgacaag atcaaggcgg gcgatattct ggtcattatt 1500

ggcgttggac cttcaggtaac agggatggaa gaaacctacc aggttaccag tgcctgaag 1560
catctgtcat acggttaagca tgtttcggtta atcaccgatg cacgtttctc gggcgtttct 1620
actggcgcgt gcatcggcca tgtggggcca gaagcgtgg ccggaggccc catcggtaaa 1680
ttacgcaccg gggatntaat tgaatataaa attgattgtc gcgagcttca cggcgaagtc 1740
aatttctcgt gaacccttag cgatgaacaa ttacctcac aggaggaggc aactgcaata 1800
ttaaattgca gaccagcca tcaggattta cttcccgatc ctgaattgcc agatgatacc 1860
cggctatggg caatgcttca ggccgtgagt ggtgggacat ggaccggttg tatttatgat 1920

gtaaacaaaa ttggcgcggc tttgcgcgat tttatgaata aaaactga 1968

<210> 6

<211> 1968

<212> DNA

<213> Artificial Sequence

<220><223> Escherichia coli W3110 dehydratase gene YagF

<400> 6

atgaccattg agaaaatfff caccgccag gacgacgct tttatgcggt gatcaccac 60
gcggcggggc cgcagggcgc tctgccgtg accccgaga tgctgatgga atctcccagc 120
ggcaactgt tcggcatgac gcagaacgc gggatggct gggacgcaa caagctcacc 180
ggcaaagagg tgctgattat cggcaactag ggcggcatcc gcgccggaga cggacgcca 240

atcgcgctgg gtiaccacac cgggcattgg gagatcggca tgcagatgca ggcggcggcg 300
aaggagatca cccgcaatgg cgggatcccg ttcgggctct tcgtcagcga tccgtgcgac 360
ggcgctcgc agggcacgca cggtatgttc gattccctgc cgtaccgcaa cgacgcggcg 420
atcgtgtttc gccgcctgat ccgctccctg ccgacgcggc gggcggatgat cggcgtagcg 480
acctgcgata aagggtgcc gccaccatg attgcgctgg ccgcatgca cgacctgccg 540
actattctgg tgccggggcg ggcgacgctg ccgccgaccg tcggggaaga cgcgggcaag 600

gtgcagacca tcggcgcgcg tttcgccaac cacgaactct ccctgcagga ggccgccgaa 660

ctgggctgtc gcgcctgcmc ctcgccgggc ggcgggtgtc agttcctcgg cacggcgggc 720

acctgcagg tggtcgcgga ggcgctgggt ctggcgtgc cgcactccgc getggcgcg 780

tccgggcagg cggtgtggct ggagatgcc cgcagtcgg cgcgcgctgt cagcgagctg 840

gatagccgcg gcatcaccac gcgggatatc ctctccgata aagccatcga aaacgcgatg 900

gtgatccacg cggcgttcgg cggctccacc aatttactgc tgcacattcc ggccatgcc 960

cacgcggcgg gctgcacgat cccggacgtt gagcactgga cgcgcatcaa ccgtaaagtg 1020

ccgctctgg tgagcgtgct gccaacggc ccggactatc acccgaccgt gcgcgccttc 1080

ctcgcggcgg gcgtgccgga ggtgatgctc cacctgcgcg acctcggcct gctgcatctg 1140

gacgccatga ccgtgaccgg ccagacgggtg ggcgagaacc ttgaatggtg gcaggcgtcc 1200

gagcgcgggg cgcgcttccg ccagtgctctg cgcgagcagg accgcgtaga gccggatgac 1260

gtgatcctgc cgcgggagaa ggcaaaagcg aaagggtga cctcgcacgt ctgcttcccg 1320

acgggcaaca tcgctccgga aggttcgggtg atcaaggcca cggcgatcga cccgtcgggtg 1380

gtgggcgaag atggcgata ccaccacacc ggccgggtgc ggggtgtttg ctcggaagcg 1440

caggcgatca aggcgatcaa gcgggaagag attgtgcagg gcgatatcat ggtggatgatc 1500

ggcggcgggc cgtccggcac cggcatgga gagacctacc agctcacctc cgcgctaaag 1560

catatctcgt ggggcaagac ggtgtcgtc atcaccgatg cgcgcttctc gggcgtgtcg 1620

acgggcgcct gcttcggcca cgtgtcgcg gaggcgtgg cgggcgggcc gattggcaag 1680

ctgcgcgata acgacatcat cgagattgcc gtggatcgtc tgacgttaac tggcagcgtg 1740

aacttcatcg gcaccgcgga caaccgcgtg acgccggaag agggcgcgcg cgagctggcg 1800

cggcgcgaga cgcaccgga cctgcacgcc cagcactttt tgccggacga caccggctg 1860

tggcggcac tgcagtcggt gagcggcggc acctggaag gctgtattta tgacaccgat 1920

aaaattatcg aggtaattaa cgccgtaaa aaagcgtcga gaatttaa 1968

<210> 7

<211> 1788

<212> DNA

<213> Artificial Sequence

<220><223> Caulobacter crescentus CB15_codon optimized XylD dehydratase gene

<400> 7

atgcttctg cgtgtctaa ccgtaccccg cgtcgtttcc gttctcgtga ctggttcgac 60

aaccggacc acatcgacat gaccgcgtg tacctggaac gtttcatgaa ctacggatc 120

accccggaag aactgcgttc tggtaaaccg atcatcggta tcgcgagac cggttctgac 180
 atctctccgt gcaaccglat ccacctggac ctggttcagc gtgttcgtga cggtatccgt 240

 gacgcgggtg gtatcccgat ggaattcccg gttcaccga tcttcgaaaa ctgccgtcgt 300
 ccgaccgagg cgctggaccg taacctgtct tacctgggtc tggttgaaac cctgcacggt 360
 taccgatcg acgcggttgt tctgaccacc ggttgcgaca aaaccacccc ggcgggtatc 420
 atggcggcga ccaccgttaa catcccggcg atcgttctgt ctggtgggtcc gatgctggac 480
 ggttggcagc aaaacgaact ggttggttct ggtaccgtta tctggcgttc tcgtcgtaaa 540
 ctggcggcgg gtgaaatcac cgaagaagaa ttcacgacc gtgcggcgtc tctgcgccc 600
 tctgcgggtc actgcaacac catgggtacc gcgtctacca tgaacgcggt tgcggaagcg 660

 ctgggtctgt ctctgaccgg ttgcgcggcg atcccggcgc cgtaccgtga acgtggtcag 720
 atggcgtaca aaaccggtca gcgtatcgtt gacctggcgt acgacgacgt taaaccgctg 780
 gacatcctga ccaaacaggc gttcgaaaac gcgatcgcgc tggttgcggc ggcgggtggt 840
 tctaccaacg cgcagccgca catcgttgcg atggcgcgtc acgcgggtgt tgaatcacc 900
 gcggacgact ggcgtgcggc gtacgacatc ccgctgatcg ttaacatgca gccggcgggt 960
 aaatactgg gtgaacgttt ccaccgtgcg ggtgggtgcgc cggcggttct gtgggaactg 1020
 ctgcagcagg gtcgtctgca cggtagcgtt ctgaccgtta ccggtaaaac catgtctgaa 1080

 aacctgcagg gtcgtgaaac ctctgaccgt gaagttatct tcccgtacca cgaaccgctg 1140
 gcggaaaaag cgggtttcct ggttctgaaa ggtaacctgt tcgacttcgc gatcatgaaa 1200
 tcttctgtta tcggtgaaga attccgtaaa cgttacctgt ctcagccggg tcaggaaggt 1260
 gttttcgaag cgcgtgcgat cgttttcgac ggttctgacg actaccacaa acgtatcaac 1320
 gaccggcgc tggaaatcga cgaacgttgc atcctggtta tccgtggtgc ggtccgatc 1380
 ggttggccgg gtctgcgga agttgttaac atgcagccgc cggaccacct getgaaaaaa 1440
 ggtatcatgt ctctgccgac cctgggtgac ggtcgtcagt ctggtaccgc ggactctccg 1500

 tctatcctga acgcgtctcc ggaatctgcg atcggtagtg gtctgtcttg gctgcgtacc 1560
 ggtgacacca tccgtatcga cctgaacacc ggtcgttgcg acgcgctggt tgacgaagcg 1620
 accatcgcgg cgcgtaaaca ggacggtatc ccggcggttc cggcgaccat gaccccgtag 1680
 caggaaatct accgtgcgca cgcgtctcag ctggacaccg gtggtgttct ggaattcgcg 1740
 gttaaatacc aggacctggc ggcgaaactg ccgcgtcaca accactga 1788

 <210> 8
 <211> 906
 <212> DNA

<213> Artificial Sequence

<220><223> Escherichia coli W3110 aldolase gene YjhH

<400> 8

atgaaaaat tcagcggcat tattccaccg gtatccagca cgtttcatcg tgacggaacc 60
 cttgataaaa aggcaatgcg cgaagtggc gacttcctga ttaataaagg ggtcgcgagg 120
 ctgttttate tgggtaccgg tgggtaattt agccaaatga atacagccca gcgcatggca 180
 ctcgccgaag aagctgtaac cattgtcgac gggcgcagtg cggtattgat tggcgtcgg 240
 tccccctcca ctgacgaagc ggtcaaacg ggcgcagcatg cgcaagccta cggcgtgat 300
 ggtatcgtcg ccatcaacc ctactactgg aaagtgcac cacgaaatct tgacgactat 360
 taccagcaga tcgccgtag cgtcaccta ccggtgatcc tgtacaactt tccgatctg 420

acgggtcagg acttaacccc ggaaaccgtg acgcgtctgg ctctgcaaaa cgagaatatic 480
 gttggcatca aagacacat cgacagcgtt ggtcacttgc gtacgatgat caacacagtt 540
 aagtcggtac gcccgctgtt ttcggtattc tgcggttacg atgatcattt gctgaatacg 600
 atgctgctgg gggcgcagcg tgcgataacc gccagccta actttgctcc ggaactctec 660
 gtcggcatct accgcgctg gcgtgaaggc gatctggcga ccgctgcgac gctgaataaa 720
 aaactactac aactgccgc tatttacgc ctcgaaacac cgtttgtctc actgatcaaa 780
 tacagcatgc agtgtgtcgg gctgctgta gagacatatt gcttaccacc gattcttgaa 840

gcatctgaag aagcaaaaga taaagtccac gtgctgctta ccgcgaggg cattttacca 900
 gtctga 906

<210> 9

<211> 930

<212> DNA

<213> Artificial Sequence

<220><223> Escherichia coli W3110 aldolase gene YagE

<400> 9

atgattcagc aaggagatct catgccgcag tccgcgttgt tcacgggaat cattccccct 60
 gtctccacca tttttaccgc gcagggccag ctcgataagc cgggcaccgc cgcgctgatc 120
 gacgatctga tcaaagcagg cgttgaccgc ctgtttctcc tgggcagcgg tggcgagttc 180
 tcccagctcg gcgccgaaga gcgtaaagcc attgcccgct ttgctatcga tcatgtcgat 240
 cgtcgcgtgc cgggtctgat cggcaccggc ggcaccaacg cccgggaaac catcgaactc 300
 agccagcagc cgcagcaggc gggcgcggac ggcacgttgg tgatcaacc ctactactgg 360

aaagtgtcgg aagcgaacct gatccgctat ttcgagcagg tggccgacag cgtcacgctg 420
 ccggtgatgc tctataactt cccggcgtcg accgggcagg atctgactcc ggcgctggtg 480
 aaaaccctcg ccgactcgcg cagcaatatt atcggcatca aagacaccat cgactccgtc 540
 gcccacctgc gcagcatgat ccataccgtc aaaggtgccc atccgcaact caccgtgctc 600

tgggctacg acgatcatct gttcaatacc ctgctgctcg gcggcgacgg ggcgatatcg 660
 gcgagcggca actttgcccc gcaggtgtcg gtgaatcttc tgaagcctg gcgcgacggg 720
 gacgtggcga aagcggccgg gtatcatcag accttgctgc aaattccgca gatgtatcag 780
 ctggatacgc cgtttgtgaa cgtgattaaa gaggcgatcg tgctctgcgg tcgtcctgctc 840
 tccacgcacg tgctgccccc cgcctcgccg ctggacgagc cgcgcaaggc gcagctgaaa 900
 accctgctgc aacagctcaa gctttgctga 930

<210> 10
 <211> 1440
 <212> DNA

<213> Artificial Sequence

<220><223> Escherichia coli W3110 aldehyde dehydrogenase A gene AldA

<400> 10

atgtcagtac ccgttcaaca tcctatgtat atcgatggac agtttgttac ctggcgtgga 60
 gacgcatgga ttgatgtggt aaacctgct acagaggctg tcatttcccg catacccgat 120
 ggtcaggccg aggatgcccc taaggcaatc gatgcagcag aacgtgcaca accagaatgg 180
 gaagcgttgc ctgctattga acgcgccagt tggttgcgca aaatctccgc cgggatccgc 240
 gaacgcgcca gtgaaatcag tgcgctgatt gttgaagaag ggggcaagat ccagcagctg 300

gctgaagtgc aagtggcttt tactgccgac tatatcgatt acatggcggg gtgggcacgg 360
 cgttacgagg gcgagattat tcaaagcgat cgtccaggag aaaatattct tttgtttaa 420
 cgtgcgcttg gtgtgactac cggcattctg ccgtggaact tcccgttctt cctcattgcc 480
 cgcaaaatgg ctcccgtctt ttgaccggt aataccatcg tcattaaacc tagtgaattt 540
 acgccaaca atgcgattgc attcgcaaa atcgtcgatg aaataggcct tccgcgcggc 600
 gtgtttaaacc ttgtactggg gcgtggtgaa accgttgggc aagaactggc ggtaacca 660
 aaggtcgcaa tggtcagtat gacaggcagc gtctctgcag gtgagaagat catggcgact 720

gcggcgaaaa acatcaccaa agtgtgtctg gaattggggg gtaaagcacc agctatcgta 780
 atggacgatg ccgatcttga actggcagtc aaagccatcg ttgattcagc cgtcattaat 840
 agtgggcaag tigttaactg tgcagaacgt gtttatgtac agaaaggcat ttatgatcag 900

ttcgtcaatc ggctgggtga agcgatgcag gcggttcaat ttgtaaccc cgctgaacgc 960
aacgacattg cgatggggcc gttgattaac gccgcggcgc tggaaagggt cgagcaaaaa 1020
gtggcgcgcg cagtagaaga aggggcgaga gtggcgttcg gtggcaaacg gtagagggg 1080
aaaggatatt attatccgcc gacattgctg ctggatgttc gccaggaaat gtcgattatg 1140

catgaggaaa cctttggccc ggtgctgcca gttgtcgcac ttgacacgct ggaagatgct 1200
atctcaatgg ctaatgacag tgattacggc ctgacctcat caatctatac ccaaaatctg 1260
aacgtcgcga tgaagccat taaagggtg aagtttgggtg aaacttacat caaccgtgaa 1320
aacttcgaag ctatgcaagg cttccacgcc ggatggcgta aatccggtat tggcggcgca 1380
gatggtaaac atggcttgca tgaatatctg cagaccaggc tggtttattt acagtcttaa 1440
1440

<210> 11
<211> 939
<212> DNA

<213> Artificial Sequence

<220><223> Escherichia coli W3110 glyoxylate reductase gene YcdW

<400> 11

atggatatca tctttatca cccaacgttc gataccaat ggtggattga ggcaactgcgc 60
aaagctattc ctcaggcaag agtcagagca tggaaaagcg gagataatga ctctgctgat 120
tatgctttag tctggcatcc tctgttgaa atgctggcag ggcgcgatct taaagcgggtg 180
ttcgcaactc gggccgggtg tgattctatt ttgagcaagc tacaggcaca ccctgaaatg 240
ctgaaccctt ctgttccact ttttcgctg gaagataccg gtatggcgca gcaaatgcag 300
gaatatgctg tcagtcaggt gctgcattgg tttcgacgtt ttgacgatta tcgcatccag 360

caaaatagtt cgattggca accgctgcct gaatatcatc gggaagattt taccatcggc 420
attttgggcg caggcgtact gggcagtaaa gttgctcaga gtctgcaaac ctggcgcttt 480
ccgctgcggt gctggagtcg aacccgtaaa tcgtggcctg gcgtgcaaag ctttgccgga 540
cgggaagaac tgctgcatt tctgagccaa tgcgggtat tgattaattt gttaccgaat 600
accctgaaa ccgtcggcat tattaatcaa caattactcg aaaaattacc ggatggcgcg 660
tatctcctca acctggcgcg tgggtttcat gttgtggaag atgacctgct cgcgcgctg 720
gatagcggca aagttaaagg cgcaatgttg gatgttttta atcgtgaacc cttaccgct 780

gaaagtccg tctggcaaca tccacgcgtg acgataaac cacatgtcgc cgcgattacc 840
cgtcccgtg aagctgtgga gtacatttct cgcaccattg cccagctcga aaaaggggag 900

agggtctgcg ggcaagtcga ccgcgcacgc ggctactaa 939

<210> 12

<211> 1305

<212> DNA

<213> Artificial Sequence

<220><223> Escherichia coli W3110 isocitrate lyase gene AceA

<400> 12

atgaaaacc gtacacaaca aattgaagaa ttacagaaag agtggactca accgcgttgg 60

gaaggcatta ctgcccata cagtgcggaa gatgtggtga aattacgcgg ttcagtcaat 120

cctgaatgca cgctggcgca actggcgca gcgaaaatgt ggcgtctgct gcacggtgag 180

tcgaaaaaag gctacatcaa cagcctcggc gcactgactg gcggtcaggc gctgcaacag 240

gcgaaagcgg gtattgaagc agtctatctg tcgggatggc aggtagcggc ggacgctaac 300

ctggcggcca gcatgtatcc ggatcagtcg ctctatccgg caaactcggg gccagctgtg 360

gtggagcggg tcaacaacac ctcccgctgt gccgatcaga tccaatggtc cgcgggcatt 420

gagccggcgc atccgcgcta tgtcgattac ttctgcca tcggtgccga tgcggaagcc 480

ggttttggcg gtgtcctgaa tgcctttgaa ctgatgaaag cgatgattga agccggtgca 540

gcggcagttc acttcgaaga tcagctggcg tcagtgaaga aatgcggtca catgggcggc 600

aaagttttag tgccaactca ggaagctatt cagaaactgg tcgcggcgcg tctggcagct 660

gacgtgacgg gcgttccaac cctgctggtt gcccgtagcg atgctgatgc ggcggatctg 720

atcacctccg attgcgacce gtatgacagc gaatttatta ccggcgagcg taccagtga 780

ggcttcttcc gtactcatgc gggcattgag caagcgatca gccgtggcct ggcgtatgcg 840

ccatatgctg acctggtctg gtgtgaaacc tccacgccgg atctggaact ggcgcgtcgc 900

tttgacaag ctatccacgc gaaatatccg ggcaaactgc tggcttataa ctgctcgccg 960

tcgttcaact ggcagaaaaa cctcgacgac aaaactattg ccagcttcca gcagcagctg 1020

tcggatatgg gctacaagtt ccagttcatc accctggcag gtatccacag catgtggttc 1080

aacatgtttg acctggcaaa cgcctatgcc cagggcgagg gtatgaagca ctacgttgag 1140

aaagtgcage agccggaatt tgcccgccgc aaagatggct ataccttctg atctcaccag 1200

caggaagtgg gtacaggtta cttcgataaa gtgacgacta ttattcaggg cggcacgtct 1260

tcagtcaccg cgctgaccgg ctccactgaa gaatcgcagt tctaa 1305

<210> 13

<211> 1737

<212> DNA

<213> Artificial Sequence

<220><223> Escherichia coli W3110 isocitrate dehydrogenase
kinase/phosphatase gene AceK

<400> 13

atgccgctg gcttgaatt attgattgct caaacattt tgcaaggctt cgatgctcag	60
tatggtcgat tcctcgaagt gacctccggt ggcgagcagc gtttcgaaca ggccgactgg	120
catgctgtcc agcaggcgat gaaaaaccgt atccatcttt acgatcatca cgttggctcg	180
gtcgtggagc aactgcgctg cattaactaac ggccaaagta cggacgcggc attttacta	240
cgtgttaaag agcattacac ccggctgttg ccggattacc cgcgcttcga gattgcggag	300
agctttttta actccgtgta ctgtcggtta tttgaccacc gctcgttac tcccagcgg	360
ctttttatct ttagctctca gccagagcgc cgctttcgta ccattccccg cccgctggcg	420
aaagactttc accccgatca cggctgggaa tctctactga tgcgcttat cagcgaccta	480
ccgctgcgcc tgcgctggca gaataaaagc cgtgacatcc attacattat tgcceatctg	540
acggaaacgc tggggacaga caacctcgcg gaaagtcatc tacaggtggc gaacgaactg	600
ttttaccgca ataaagccgc ctggctggta ggcaaaactga tcacacctc cggcacattg	660
ccatttttgc tgccgatcca ccagacggac gacggcaggt tatttattga tacctgctg	720
acgacgaccg ccgaagcagc cattgttttt ggctttgcgc gttcttattt tatggtttat	780
gcgccgctgc ccgacgcgct ggtcagtggt ctacgggaaa ttctgccagg taaaaccacc	840
gctgaattgt atatggctat cggctgccag aagcacgcca aaaccgaaag ctaccgcgaa	900
tatctcgttt atctacaggc ctgtaatgag cagttcattg aagcgcggg tattcgtgga	960
atggtgatgt tgggtgttac gctgccgggc ttgatcggg tattcaaagt catcaaagac	1020
aggttcgcgc cgcagaaaga gatgtctgcc gctcacgttc gtgctgcta tcaactggtg	1080
aaagagcacg atcgcgtggg ccgaatggcg gacaccagg agtttgaaaa ctttgtctg	1140
gagaagcggc atatttcccc ggcattaatg gaattactgc ttcaggaagc agcggaaaaa	1200
atcaccgatc tcggcgaaca aattgtgatt cgccatcttt atattgagcg gcggatggtg	1260
ccgctcaata tctggctgga acaagtggaa ggtcagcagt tgcgcgacgc cattgaagaa	1320
tacggtaacg ctattcgcca gcttccgct gctaacattt tccctggcga catgctgttt	1380
aaaaacttcg gtgtcaccg tcacgggcgt gtggttttt atgattacga tgaatttgc	1440
tacatgacgg aagtgaattt ccgcgacatc ccgccgccg gctatccgga agacgaactt	1500

gccagcgaac cgtggtacag cgtctcgccg ggcgatgttt tcccgaaga gtttcgccac 1560

tggctatgcg ccgaccgcg tattggtccg ctgtttgaag agatgcacgc cgacctgttc 1620

cgcgctgatt actggcgcgc actacaaaac cgcatacgtg aaggcatgt ggaagatgtt 1680

tatgctatc ggcgcaggca aagatttagc gtacggtatg gggagatgct tttttga 1737

<210> 14

<211> 1170

<212> DNA

<213> Artificial Sequence

<220><223> Methylococcus capsulatus codon optimized sucC-2 (Succinyl-CoA
ligase beta-subunit) gene

<400> 14

atgaacatcc acgaatacca ggcgaagaa ctgctgaaaa cctacggtgt tccggttccg 60

gacggtgctg ttgcgtactc tgacgcgcag gcggcgtctg ttgcggaaga aatcggtggt 120

tctcgttggg ttgttaaagc gcagatccac gcgggtggtc gtggtaaagc ggggtggtgtt 180

aaagtgcgc acctatcga agaagtctgt cagtacgcgg acgcgatgct gggttctcac 240

ctggttacc accagaccgg tccgggtggt tctctggttc agcgtctgtg ggttgaacag 300

gcgtctcaca tcaaaaaaga atactacctg ggtttcgtta tcgaccgtgg taaccagcgt 360

atcacctga tcgcgtcttc tgaagtggt atggaaatcg aagaagttgc gaaagaacc 420

ccggaaaaaa tcgttaaaga agttgttgac ccggcgatcg gtctgctgga cttccagtgc 480

cgtaaagttg cgaccgcgat cggctctgaaa ggtaaactga tgccgcaggc ggttcgtctg 540

atgaaagcga tctaccgtg catgcgtgac aaagacgcgc tgcaggcgga aatcaaccgc 600

ctggcgatcg ttggtgaatc tgacgaatct ctgatggttc tggacgcgaa attcaacttc 660

gacgacaacg cgctgtaccg tcagcgtacc atcacgaaa tgcgtgacct ggcggaagaa 720

gaccgaaag aagtgaagc gtctggtcac ggtctgaact acatcgcgct ggacggtaac 780

atcggttgca tcgttaacgg tgcgggtctg gcgatggcgt ctctggacgc gatcacctg 840

cacggtggtc gtccggcgaa cttcctggac gttggtggtg gtgctctcc ggaaaaagtt 900

accaacgcgt gccgtatcgt tctggaagac ccgaacgttc gttgcatcct ggttaacatc 960

ttcgcgggta tcaaccgttg cgactggatc gcgaaaggtc tgatccagc gtgcgactct 1020

ctgcagatca aagtccgct gatcgttcgt ctggcgggta ccaacgttga cgaagtcgt 1080

aaaatcctgg cggaatctgg tctgtctttc atcacgcggg aaaacctgga cgacgcggcg 1140

gcgaaagcgg ttgcgatcgt taaaggttaa 1170

<210> 15
 <211> 903
 <212> DNA
 <213> Artificial Sequence
 <220><223> Methylococcus capsulatus codon optimized sucD-2 (Succinyl-CoA

ligase alpha-subunit) gene

<400> 15
 atgtctgttt tcgtaacaa acactctaaa gttatcttcc agggtttcac cggatgaacac 60
 gcgaccttcc acgcgaaaga cgcgatgcgt atgggtaccc gtgttggtgg tgggtttacc 120
 ccgggtaaag gtggtaccgg tcaccgggac ccggaactgg cgcacctgcc ggttttcgac 180
 accgttgccg aagcggttgc ggcgaccggt gcggacgttt ctgcggtttt cgttccgccc 240
 ccgttcaacg cggacgcgct gatggaagcg atcgacgcgg gtatccgtgt tgcggttacc 300
 atcgccggacg gtatcccggg tcacgacatg atccgtctgc agcgttaccg tgttggtaaa 360

 gactctatcg ttatcgggcc gaacaccccg ggtatcatca ccccgggtga atgcaaagtt 420
 ggtatcatgc cgtctcacat ctacaaaaaa ggtaacgttg gtatcgtttc tcgttctggt 480
 acctgaaact acgaagcgac cgaacagatg gcggcgctgg gtctgggtat caccacctct 540
 gttggtatcg gtggtgacct gatcaacggt accgacttgc ttaccgttct gcgtgcgttc 600
 gaagcggacc cggaaaccga aatcgttgtt atgatcgggtg aatcgggtgg tccgaggaa 660
 gttgcggcgg cgcgttgggc gaaagaaaac atgaccaaac cggttatcgg tttcgttgcg 720
 ggtctggcgg cgcgaccggg tcgtcgtatg ggtcacgcgg gtgcgatcat ctcttctgaa 780

 gcggacaccg cgggtgcgaa aatggacgcg atggaagcgc tgggtctgta cgttgcgcgt 840
 aaccggcgc agatcggcca gaccgttctg cgtgcggcgc aggaacacgg tatccgtttc 900
 tga 903

<210> 16
 <211> 957
 <212> DNA
 <213> Artificial Sequence
 <220><223> Rhodobacter spaeroides codon optimized mcl-1(malyl-CoA lyase)

gene

<400> 16
 atgtctttcc gtctgcagcc ggcgcgccg gcgcgtccga accgttgcca gctgttcggt 60

ccgggttctc gtccggcgct gttcgaaaa atggcggcgt ctgcggcgga cgttatcaac 120

ctggacctgg aagactctgt tgcgccggac gacaaagcgc aggcgcgtgc gaacatcadc 180

gaagcgatca acggtctgga ctggggctgt aaatacctgt ctgttcgtat caacggtctg 240

gacacccctg tctggtaccg tgacgttggt gacctgctgg aacaggcggg tgacctctg 300

gaccagatca tgatcccga agttggttgc gcggcggacg tttacgcggt tgacgcgtg 360

gttaccgga tgaacgtgc gaaaggtcgt accaaaccgc tgtctttcga agttatcadc 420

gaatctgcgg cgggtatcgc gcacgttga gaaatcgcgg cgtcttctcc gcgtctgcag 480

gcgatgtctc tgggtgcggc ggacttcgcg gcgtctatgg gtatgcagac caccggtatc 540

ggtggtacc aggaaaacta ctacatgctg cacgacggtc agaaactg gctgacccg 600

tggcactggg cgcaggcggc gatcgttgcg gcgtgccgta cccacggtat cctgccggtt 660

gacggtccgt tccgtgactt ctctgacgac gaaggtttcc gtgcgcaggc gcgtcgttct 720

gcgaccctgg gtatggttgg taaatggcg atccaccga aacaggttgc gctggcgaac 780

gaagttttca ccccgtctga aaccgcggtt accgaagcgc gtgaaatcct ggcggcgatg 840

gacgcggcga aagcgcgtgg tgaaggtcgc accgtttaca aaggtcgtct ggttgacatc 900

gcgtctatca aacaggcggg agttatcgtt cgtcaggcgg aatgatctc tgcgtga 957

<210> 17
 <211> 28
 <212> DNA
 <213> Artificial Sequence
 <220><223> cc-xdh-F

<400> 17
 cggtcatatg tcttctgcga tctacccg 28

<210> 18
 <211> 25
 <212> DNA
 <213> Artificial Sequence
 <220><223> cc-xdh-R

<400> 18
 ctttctcgag tcaacgcca cccgc 25

<210> 19
 <211> 28
 <212> DNA

<213> Artificial Sequence
 <220><223> cc-xy1D-F
 <400> 19
 ctgtcatatg cgttctgcgc tgtctaac 28

<210> 20
 <211> 26
 <212> DNA
 <213> Artificial Sequence
 <220><223> cc-xy1D-R
 <400> 20
 cgttctcgag tcagtggttg tgacgc 26

<210> 21
 <211> 29
 <212> DNA
 <213> Artificial Sequence
 <220><223> yjhG-F
 <400> 21
 ggggcatatg tctgttcgca atatttttg 29

<210> 22
 <211> 33
 <212> DNA
 <213> Artificial Sequence
 <220><223> yjhG-R
 <400> 22
 cgccctcgag tcagttttta ttcataaaat cgc 33

<210> 23
 <211> 25
 <212> DNA
 <213> Artificial Sequence
 <220><223> yagF-F
 <400> 23
 cccgcatatg accattgaga aaatt 25

<210> 24

<211> 25
 <212> DNA
 <213> Artificial Sequence
 <220><223> yagF-R
 <400> 24
 ctctctcgag ttaaattccg agcgc 25
 <210> 25
 <211> 29
 <212> DNA
 <213> Artificial Sequence
 <220><223> yjhH-F
 <400> 25
 cccgcatatg aaaaaattca gcggcatta 29

 <210> 26
 <211> 28
 <212> DNA
 <213> Artificial Sequence
 <220><223> yjhH-R
 <400> 26
 ctctctcgag ttctcctcag actggtaa 28
 <210> 27
 <211> 26
 <212> DNA
 <213> Artificial Sequence
 <220><223> yagE-F
 <400> 27
 ctcgcatatg attcagcaag gagatc 26
 <210> 28
 <211> 28
 <212> DNA
 <213> Artificial Sequence
 <220><223> yagE-R
 <400> 28

ctctctcgag tcagcaaagc ttgagctg	28
<210> 29	
<211> 30	
<212> DNA	
<213> Artificial Sequence	
<220><223> ycdW-F	
<400> 29	
ccgcatatg gatatcatct tttatcacc	30
<210> 30	
<211> 27	
<212> DNA	
<213> Artificial Sequence	
<220><223> ycdW-R	
<400> 30	
ctttctcgag ttagtagccg cgtgcgc	27
<210> 31	
<211> 30	
<212> DNA	
<213> Artificial Sequence	
<220><223> aceA-F	
<400> 31	
ccaacaattg gatgaaaacc cgtacacaac	30
<210> 32	
<211> 30	
<212> DNA	
<213> Artificial Sequence	
<220><223> aceA-R	
<400> 32	
ctttctcgag ttagaactgc gattcttcag	30
<210> 33	
<211> 26	
<212> DNA	
<213> Artificial Sequence	

<220><223> aceK-F
 <400> 33
 aaaacatatg ccgcgtggcc tggaat 26
 <210> 34
 <211> 32
 <212> DNA
 <213> Artificial Sequence
 <220><223> aceK-R
 <400> 34
 aaaactcgag tcaaaaaagc atctcccat ac 32

 <210> 35
 <211> 29
 <212> DNA
 <213> Artificial Sequence
 <220><223> aldA-F
 <400> 35
 ccacatatg tcagtaccg ttcaacatc 29
 <210> 36
 <211> 31
 <212> DNA
 <213> Artificial Sequence
 <220><223> aldA-R
 <400> 36
 cccctcgag ttaagactgt aaataacca c 31
 <210> 37
 <211> 24
 <212> DNA
 <213> Artificial Sequence
 <220><223> mcl-F
 <400> 37
 ccaacatatg tctttccgtc tgca 24

 <210> 38
 <211> 27

<212> DNA
 <213> Artificial Sequence
 <220><223> mcl-R
 <400> 38
 caacctcgag tcacgcagag atcattt 27
 <210> 39
 <211> 29
 <212> DNA
 <213> Artificial Sequence
 <220><223> sucC-2-F
 <400> 39
 ccaacatatg aacatccacg aataccagg 29
 <210> 40
 <211> 31
 <212> DNA
 <213> Artificial Sequence
 <220><223> sucC-2-R
 <400> 40
 caacctcgag ttaaccttta acgatcgcaa c 31

 <210> 41
 <211> 24
 <212> DNA
 <213> Artificial Sequence
 <220><223> sucD-2-F
 <400> 41
 cccccatatg tctgttttcg ttaa 24
 <210> 42
 <211> 25
 <212> DNA
 <213> Artificial Sequence
 <220><223> sucD-2-R
 <400> 42
 caaactcgag tcagaaacgg atacc 25
 <210> 43

<211> 61
 <212> DNA
 <213> Artificial Sequence
 <220><223> glcD-KO-F
 <400> 43
 gctggaaaaa ggtgtgttgt tggatgatgc gcgctttaa catatgaata tcctccttag 60

 t 61
 <210> 44
 <211> 61
 <212> DNA
 <213> Artificial Sequence
 <220><223> glcD-KO-R
 <400> 44
 aaatcatatt gctgcgataa acgggcaatg ccttccagta gtgtaggctg gagctgcttc 60
 g 61
 <210> 45
 <211> 20
 <212> DNA
 <213> Artificial Sequence
 <220><223> glcD-Ver-F
 <400> 45
 atgagcatct tgtacgaaga 20

 <210> 46
 <211> 20
 <212> DNA
 <213> Artificial Sequence
 <220><223> glcD-Ver-R
 <400> 46
 ttcagggaaa ggtaaatgac 20
 <210> 47
 <211> 61
 <212> DNA
 <213> Artificial Sequence

<220><223> glcB-K0-F
 <400> 47
 ttctctgcac ggacgctcgc tgctgtttat cgcgaacgtg catatgaata tcctccttag 60
 t 61
 <210> 48
 <211> 61
 <212> DNA
 <213>
 > Artificial Sequence
 <220><223> glcB-K0-R
 <400> 48
 ttcaaattca gcattgaact cggctctgggc aatgttggct gtgtaggctg gagctgcttc 60
 g 61
 <210> 49
 <211> 20
 <212> DNA
 <213> Artificial Sequence
 <220><223> glcB-Ver-F
 <400> 49
 cgcacatcaa cgatgttadc 20
 <210> 50
 <211> 20
 <212> DNA
 <213> Artificial Sequence
 <220><223> glcB-Ver-R
 <400> 50
 gccacattgt gaatatccgg 20
 <210> 51
 <211> 61
 <212> DNA
 <213> Artificial Sequence
 <220><223> aceB-K0-F
 <400> 51
 tcactggcac cagactggaa caaagtgatc gacgggcaaa catatgaata tcctccttag 60

t	61
<210> 52	
<211> 61	
<212> DNA	
<213> Artificial Sequence	
<220><223> aceB-KO-R	
<400> 52	
accgttattg gcttccagcg atttatccgc ttttactttg gtgtaggctg gagctgcttc	60
g	61
<210> 53	
<211> 19	
<212> DNA	
<213> Artificial Sequence	
<220><223> aceB-Ver-F	
<400> 53	
gaaacagctt ccattcgcg	19
<210> 54	
<211> 20	
<212> DNA	
<213> Artificial Sequence	
<220><223> aceB-Ver-R	
<400> 54	
gtaatcggcg cgtcttgttc	20
<210> 55	
<211> 25	
<212> DNA	
<213>	
> Artificial Sequence	
<220><223> yagF-His-F	
<400> 55	
ccctcgaga accattgaga aaatt	25
<210> 56	
<211> 27	
<212> DNA	

<213> Artificial Sequence

<220><223> yagF-His-R

<400> 56

cccaagctta attccgagcg ctttttt 27

<210> 57

<211> 1053

<212> DNA

<213> Artificial Sequence

<220><223> glycolate oxidase glcE gene

<400> 57

atgctacgcg agtgtgatta cagccaggcg ctgctggagc aggtgaatca ggcgattagc 60

gataaaacgc cgctgggatg tcagggcagc aatagcaaag ctttttagg tcgccctgtc 120

accgggcaaa cgctggatgt tcgttgtcat cgcggcattg ttaattacga cccgaccgag 180

ctggtgataa ccgcgctgt cggaacgccg ctggtgacaa ttgaagcggc gctggaaagc 240

gcggggcaaa tgctcccctg tgagccgccg cattatggtg aagaagccac ctggggcggg 300

atggtcgcct gcgggctggc ggggccgcgt cggcctgga gcggttcggt ccgcgatttt 360

gtcctcgca cgcgcatcat taccggcgt gaaaaacatc tgcgttttgg tggcgaagtg 420

atgaaaaacg ttgccggata cgatctctca cggttaatgg tcggaagcta cggttgtctt 480

ggcgtgctca ctgaaatctc aatgaaagtg ttaccgcgac cgcgcgcctc cctgagcctg 540

cgtcgggaaa tcagcctgca agaagccatg agtgaaatcg ccgagtggca actccagcca 600

ttaccatta gtggcttatg ttacttcgac aatgcgttgt ggatccgct tgagggcggc 660

gaaggatcgg taaaagcagc gcgtgaactg ctgggtggcg aagagttgc cggtcagttc 720

tggcagcaat tgcgtgaaca acaactgccg ttcttctcgt taccaggtac cttatggcgc 780

atctcattac ccagtgatgc gccgatgatg gatttaccg gcgagcaact gatcgactgg 840

ggcggggcgt tacgctggct gaaatcgaca gccgaggaca atcaaatcca tcgcatcgcc 900

cgcaacgctg gcggtcatgc gaccgcctt agtgccggag atggtggctt tgccccgcta 960

tcggctcctt tattccgcta tcaccagcag cttaaacagc agctcgacc ttgcggcgtg 1020

tttaaccccg gtcgcatgta cgcggaactt tga 1053

<210> 58

<211> 1224

<212> DNA

<213> Artificial Sequence

<220><223> glycolate oxidase glcF gene

<400> 58

atgcaaacc aattaactga agagatgagg cagaacgcgc gcgcgctgga agccgacagc 60

atcctgcgcg ccigtgttca ctgaggattt tgtaccgcaa cctgccaac ctatcagctt 120

ctggcgatg aactggacgg gccgcgagg cgcattatc tgattaaaca ggtgctggaa 180

ggcaacgaag tcacgcttaa aacacaggag catctcgatc gctgcctcac ttgcegtaat 240

tgtgaaacca ccigtcttc tgggtgtgag tatcacaatt tgctggatat cgggcgtgat 300

attgtcgagc agaaagtga acgcccactg ccggagcga tactgcgca aggatgtgagc 360

caggtagtgc cgcgtccggc ggtcttccgt gcgctgagc aggtaggct ggtgctgca 420

ccgtttttac cggaacaggc cagagcaaaa ctgctgctg aaacggtgaa agctaaaccg 480

cgccgcccgc tgcgccaata gcgtcgggtt ttaatgttg aaggctgagc ccagcctacg 540

ctttcgcca acaccaagc ggcaactgag cgagtgtgg atcgtctggg gatcagcgtc 600

atgccagcta acgaagcagg ctgttgtggc gcggtgact atcatctta tgcgcaggag 660

aaaggctgg cacgggcgag caataatatt gatgcctggt ggcccggat tgaagcaggt 720

gccgaggcaa ttttgcaaac cgcagcggc tgcggcagc ttgtcaaaga gtatggcag 780

atgctgaaaa acgatgcgtt atatgccgat aaagcagtc aggtcagtga actggcggtc 840

gatttagtgc aacttctgag cgaggaaacc ctggaaaaac tggcaattcg cggcgataaa 900

aagctggcct tccactgtcc gtgtacctta caacatgagc aaaagctgaa cggcgaagtg 960

gaaaaagtgt tgettctct tggatttacc ttaacggagc tccccagag ccatctgtgc 1020

tgcggttcag cgggaacata tgcgttaacg catcccgatc tggcagcca gctgcgggat 1080

aacaaaatga atgcgctgga aagcggcaaa ccggaaatga tcgtcaccgc caacattggt 1140

tgccagagc atctggcgag cgcgggtcgt acctctgtgc gtcactggat tgaattgta 1200

gaacaagccc ttgaaaagga ataa 1224

<210> 59

<211> 405

<212> DNA

<213> Artificial Sequence

<220><223> glycolate oxidase glcG gene

<400> 59

atgaaaacta aagtcattct tagccagcaa atggcgagtg caattattgc cgcaggtcag 60

gaagaggcgc agaaaaataa ctggtctgtt tccattgctg ttgccgatga cggcggctcat 120

ctgctggcgt taagtcgcat ggacgattgc ggcggattg cggttatat ctcccaggag	180
aaagcgcgta ccgccgcgt ggggcgtcgt gaaactaagg gctatgaaga gatggtgaac	240
aacggacgta ccgcgttcgt gactgcgccg ttattaacgt cgctggaagg cggcgtaccg	300
gttgttggtg atgggcaaata tattggtgcc gtgggcgttt ctggtttaac cggagcacag	360
gatgcgcagg tcgcgaaagc ggcagcagcg gtgttgccga aataa	405